



Forschungsgesellschaft Joanneum Ges.m.b.H.
Institut für Umweltgeologie
und Angewandte Geographie

Geologie und Hydrogeologie im Bereich der Deponie im Ghartwald St. Johann in der Haide Bezirk Hartberg

Bearbeiter: H.P. Leditsky
S. Stromberger
G. Hübel

Dezember 1989

GEOLOGIE UND HYDROGEOLOGIE IM BEREICH DER DEPONIE IM GHARTWALD

1. Einleitung

Das Institut für Umweltgeologie und Angewandte Geographic in der Forschungsgesellschaft Joanneum Ges.m.b.H. wurde vom Müllwirtschaftsverband Hartberg beauftragt, die im Zuge der Deponie-Detailplatzung vorgesehenen Probebohrungen (B-5-9) geologisch zu betreuen, die Bohrkernaufnahme durchzuführen und den Bohrbetrieb bzw. den Einbau der Pegel in die Bohrlöcher zu überwachen.

Gleichzeitig wurde die Erstellung eines Gutachten betreffend die hydrogeologische Situation, soweit sie sich aus den fünf Sonden sowie aus drei bereits bestehenden Pegeln beurteilen lässt, beauftragt. Diese letzteren Untersuchungen wurden durch das FGJ-Institut für Geothermie und Hydrogeologie ausgeführt.

Das vorliegende Gutachten basiert auf den Ergebnissen des Eignungsnachweises für den Deponiestandortbereich auf.

2. Geologischer Überblick

Der Gharteroid bei St. Johann i.d. Haide stellt topographisch einen etwa NNW - SSO streichenden Terrassenkörper dar, der im Westen vom Lungitzbach und im Osten von der Lafnitz begrenzt wird. Die Oberfläche ist ein mit Wald bestandenes, fast ebenes Terrain. In geologischer Hinsicht handelt es sich um eine pleistozäne Terrassenbildung über tertiären (Pannon) Sedimenten.

Die geologische Kartierung zeigt eine mehr oder weniger mächtige Decke von sandigem Schluff / Lehm, welche die Hochfläche der Terrasse einnimmt. Diese Lehndecke teilt im Westen etwa an der Kante des Steilabfalls zum Lungitzbach aus und erstreckt sich im Osten, allerdings nur mehr als dünne Haut (maximal bis 20 cm), bis zum Abfall gegen das Lafnitztal.

Das Liegende der Schluffe bilden grobe Kiese und Steine bis Kindskopfgröße, eingebettet in sandige Matrix. Darunter folgen mächtige Fein- bis Grobsande mit wechselndem Schluff- und Tongehalt. In diese feinklastische Schichtfolge sind bis zu 3 Meter dicke Linsen und Lagen von Grobkiesen mit Kompositatengrößen bis 20 cm eingeschaltet. Die Matrix dieser Kieskörper bilden Sande. Entsprechende Aufschlüsse sind insbesondere an den Talflanken zum Lungitzbach auffindbar. Gut aufgeschlossen sind die Kieskörper auch in den verlassenen Kiesgruben nördlich und südlich der Autobahn, wobei es sich hier um die Bereiche unmittelbar im Liegenden der Lehndecke handeln dürfte.

Gegen Süden reicht die Lehmdecke bis knapp südlich der Autobahn, wo sie dann rasch ausdünnst und schließlich ganz verschwindet. Dort treten dann die liegenden Kiese und Sande zu Tage. Im Bereich der geplanten Deponie beträgt die Dicke der Lehmdecke entsprechend den Ergebnissen der geoelektrischen Tiefensorierungen bis etwa 12 Meter. Gegen Osten und Westen dünnt die Lehmdecke allerdings rasch aus, nordwestlich des Standortes fehlt sie bereichsweise überhaupt.

Die geoelektrischen Messungen deuten darauf hin, daß ein zusammenhängender Grundwasserhorizont bis zu den durch die Messungen erreichbaren Teufen nicht ausgebildet ist, und daß nur unbedeutende, wenig ausgedehnte Wasserführungen in einzelnen Schichten entwickelt sind.

Im hier behandelten Bereich des Ghartwaldes finden sich keine Quellaustritte und Oberflächengerinne, sieht man von vereinzelten, meist trockenliegenden Drainagierungsgräben ab. Eine Wasserführung ist, wie die Bohrungen zeigten und wie im hydrogeologischen Gutachten weiter unten ausgeführt wird, tiefliegend und unergiebig. Der Aquifer wird überall durch ein mächtiges Schichtpaket aus Schluffen und schluffigen Sanden abgeschirmt. Eine Grundwasserberührung im Bereich westlich des Langitzbaches bzw. östlich der Lafnitz (Burgenland) ist nicht anzunehmen.

Die im Zuge des Deponiestandort-Eignungsnachweises abgeteuften Bohrungen B 1 - 4 zeigen übereinstimmende Ergebnisse, erbrachten aber infolge der geringen Anzahl von Sonden noch gewisse Unsicherheiten hinsichtlich der Tiefenhydrogeologie.

3. Die Geologie der Bohrungen 5 - 9

Wie die im Zuge des Eignungsnachweises abgeteuften Bohrungen 1 - 4 zeigen auch die Sonden 5 - 9 den stark wechselnden Schichtaufbau im Untergrund. Alle Bohrungen durchdringen die obersten Schluffschichten (= Lehmdecke) in unterschiedlichen Mächtigkeiten, wobei in der Bohrung 8 eine Dicke von 11 Metern erreicht wurde. Lediglich in der Bohrung 9 fehlt der hangende Schluff, dort setzt bereits ab der Oberfläche der unter dem Schluff liegende Grobkies ein (siehe Beilage).

Im Liegenden der Lehmdecke folgen gewöhnlich schluffgebundene Grobkiese mit Mächtigkeiten zwischen 1 und 3 Metern. Unterhalb dieser Grobkieslage findet sich eine enge Wechsllagerung von Feinsanden und Schluffen, wobei die Schichtgrenzen nicht scharf sind, sondern fließend ineinander übergehen. Dieses Schichtpaket weist Mächtigkeiten zwischen 20 und 30 Metern auf, der Schluffanteil ist durchwegs unterschiedlich groß, reine Sande sind selten anzutreffen. Darunter folgt eine Wechsllagerung von reinen und schlufffreien Sanden mit sandigen und reinen Schluffen bis zur Endteufe. In dieser Zone befinden sich die wasserführenden Schichten (Aquifer).

Die Bohrprofile in der Beilage zeigen sehr gut die vertikale und laterale Inhomogenität des geologischen Aufbaues der Ablagerungen. Entsprechend den fluviatischen Ablagerungsbedingungen ist eine mehr oder weniger linsen- bis rinnsalige Ablagerungsform der grob- und feinklastischen Sedimente vorherrschend. Das heißt, daß die laterale Ausdehnung dieser Kies-, Sand- und Schluffkörper begrenzt und keine in den Bohrungen korrelierbare Schichtfolge entwickelt ist. Desgleichen variiert der Schluff- und Tongehalt in den Sanden bzw. der Sandanteil in den Schluffen sowohl lateral als auch vertikal.

Die Bohrungen 5 - 9 wurden durchwegs als Kernbohrungen niedergebracht und in der Folge zu Beobachtungssohlen ausgehauen. Dies ermöglichte die hydrogeologischen Untersuchungen und die Sohlen stehen in Zukunft für die Überwachung der Deponie zur Verfügung.

In den Bohrungen 5, 6, 7 und 8 wurden Proben aus der auflagernden Lehmdcke entnommen und die Durchlässigkeitsbeiwerte, sowie Dichte, Wassergehalt und Trockendichte bestimmt (siehe Beilage). Die Durchlässigkeitsbeiwerte liegen zwischen $1,1 \cdot 10^{-10}$ m/sec und $9,4 \cdot 10^{-11}$ m/sec. Diese Werte bestätigen die in den Untersuchungen zum Eignungsnachweis erhaltenen Ergebnisse über die praktische Undurchlässigkeit des Untergrundes.

4. Zusammenfassendes Ergebnis

Lithologie, Aufbau und Kennwerte der durch Oberfläkarkartierung und Geoelektrik erfaßten und durch Bohrungen detailliert untersuchten Schichtfolge im Ghartwald erbringen einen eindeutigen Nachweis der Eignung als Deponiestandort. Auf Grund der günstigen geologischen Verhältnisse ist eine Kontaminierung der in relativ großer Tiefe und in nur geringen Mengen festgestellten Wässer und damit eine Gefährdung von genutzten Grundwässern des weiteren Umgebungsbereiches praktisch auszuschließen.



INSTITUT
FÜR GEOTHERMIE UND
HYDROGEOLOGIE

LEITER
UNIV.-PROF. DR. HANS ZOER

An den
Müllwirtschaftsverbund Hartberg
Gemeindeamt
8295 St.Johann i.d.Halde

Betreff: Mülldeponie Ghartwald

**HYDROGEOLOGISCHES GUTACHTEN
MÜLLDEPONIE GHARTWALD**

Bearbeitung: H. P. Leditzky

B. Stromberger

A-8010 GRAZ, AUSTRIA
EISABETHSTRASSE 10/4
TEL. (0316) 80020373 ext. 377
FAX (0316) 80020321
TELEBOX 75310214-JIDAN 3

Inhaltsverzeichnis

1. Vorbemerkung	2
2. Pumpversuche an den Bohrungen B1 bis B4	2
3. Bohrungen B5 bis B9	3
4. Pumpversuche an den Bohrungen B5 bis B9	5
4.1 Aquiferparameter	6
5. Grundwasserströmungsrichtung und Grundwassergefüle	8
6. Abstandsgeschwindigkeit und Grundwasseralstrom	8
7. Zusammenfassende Wertung der Ergebnisse	9
8. Beweissicherung	10

Beilagen

Beilage 1: Pumpversuchsdaten B2 - B4 - Absenkungs- und Aufspiegelungskurven.

Beilage 2: Pumpversuchsdaten B5 - B9 - Zahlenwerte.

Beilage 3: Pumpversuchsdaten B5 - B9 - Absenkungs- und Aufspiegelungskurven.

Beilage 4: Grundwasserisohypsenplan 1 : 2000 vom 11.12.1989.

1. Vorbemerkung

Der Müllwirtschaftsverband Hartberg beschäftigt im Bereich des Ghartwaldes eine Haushmülldeponie für den Bezirk Hartberg zu errichten. Das Institut für Geochemie und Hydrogeologie wurde vom Institut für Umweltgeologie und Angewandte Geographic, beide Forschungsgesellschaft Joanneum GesmbH, mit der Erstellung eines Gutachtens über die hydrogeologischen Verhältnisse im geplanten Deponiebereich beauftragt.

In einer ersten Untersuchungsphase wurden an den mit 4" Verrohrungen ausgebauten Bohrungen (B1 - B4) in der Zeit vom 23. 8. - 25. 8. 1989 Kurzpumpversuche durchgeführt.

Die Auswertung dieser Pumpversuche zeigte die Notwendigkeit weiterer Bohrungen für eine ausreichende hydrogeologische Beurteilung des Deponieareals auf. Im Spätherbst 1989 wurden deshalb weitere 5 Bohrungen mit der Bezeichnung B5 bis B9 niedergebracht.

2. Pumpversuche an den Bohrungen B1 bis B4

Aus der Bohrung B1 konnten nur wenige Liter bis zum Trockenfallen des Pegels entnommen werden. Innerhalb des folgenden 24 Stunden erfolgte kein Wiederanstieg im Bohrlohr. Bei der Bohrung B4 war bei einer Entnahme von knapp 0,04 l/s der Aquifer praktisch erschöpft. Bei den restlichen beiden Bohrungen konnten 2-stufige Kurzpumpversuche mit Maximalentnahmen von ca. 0,1 bzw. 0,2 l/s bei beträchtlichen Absenkungen von jeweils 2m gefahren werden.

Aus Absenkung und Aufspiegelung errechnet sich für die Bohrungen B2 und B3 ein mittlerer k_f -Wert von $5,1 \cdot 10^{-5}$ m/s. Eine etwas geringere Durchlässigkeit resultiert sich für den Aquifer im Bereich der Bohrung B4 mit einem k_f -Wert von $1,9 \cdot 10^{-6}$ m/s ab. Die Pumpversuchsdaten von den Bohrungen B2 bis B4 sind der Beilage 1 (7 Blatt) zu entnehmen.

Diese Pumpversuchsergebnisse stehen nicht unbedingt in Einklang mit den in den Bohrprofilen dargestellten sedimentologischen Verhältnissen. So konnte aus dem 5m mächtigen Grobsandhorizont der Bohrung B4 nur eine sehr geringe Wassermenge von unter 0,04 l/s entnommen werden, wobei sich ein k_f -Wert von $1,9 \cdot 10^{-6}$ m/s abschätzen. Aus dem Pumpversuch an der Bohrung 3 errechnet sich bei einer Fördermenge von ca. 0,1 l/s ein mittlerer k_f -Wert von $6,5 \cdot 10^{-5}$ m/s, wobei das Sedimentprofil eine Abfolge von Feinsand zeigt.

Aufgrund der Ergebnisse dieser Pumpversuche kann nicht geklärt werden, ob die Wasserentnahmen aus einem zusammenhängenden Aquifer erfolgten.

Zumindest bei der Bohrung B1 besteht kein Kontakt mit dem Aquifer, dieser Pegel ist für hydrogeologische Aussagen nicht geeignet.

Da alle Bohrungen in größeren Tiefen und somit in den wasserführenden Bereichen nicht gekeert wurden, liegen über die tatsächlichen Aquifermächtigkeiten und den lithologischen Aufbau nicht die Unterlagen vor, die für eine hinreichend genaue hydrogeologische Charakterisierung der Untergrundverhältnisse notwendig gewesen wären.

3. Bohrungen B5 bis B9

Im Spätherbst 1989 wurden weitere fünf Bohrungen mit der Bezeichnung B5 bis B9 niedergebracht.

Diese Bohrungen wurden als Kernbohrungen ausgeführt und gemäß den Deponierichtlinien mit einer 3"-Verrohrung ausgebaut.

Situierung der Bohrungen:

Die Situierung der Bohrungen erfolgte nach hydrogeologischen Gesichtspunkten um einen möglichen Grundwasserabstrom unter dem Deponeareal in Richtung und quantitativer Bedeutung erfassen zu können (vgl. Grundwasserschypsensplan, Beilage 4). Die Bohrung B6 wurde als Ersatz für die funktionsuntüchtige Bohrung B1 niedergebracht.

Die Situierung der Bohrungen erfolgte aber auch unter dem Aspekt, die zu Brunnens angebauten Bohrungen für eine notwendige Beweissicherung erhalten zu können.

Bohrtiefe

Es war vorgesehen, die Bohrungen zumindest bis in Tiefen von 30m bis 40m niedezubringen und im Falle des Errichtens eines Aquifers diesen bis zum liegenden Wasserstau zu verfolgen.

Alle wasserführenden Strecken wurden verkiest und Filterrohre eingebaut.

Bohrergebnisse

Bezüglich der durchbohrten Bodenschichten wird auf das geologische Gutachten verwiesen.

Zu den ausgewiesenen "wasserführenden Schichten" ist zu bemerken, daß es sich durchwegs um Sande und zum Teil um Sande mit geringeren Schluffgehalten handelt.

In Tab.1 sind die Bohrtiefen und die Tieflage der durchbohrten wasserführenden Schichten zu entnehmen.

Tab.1: Tieflage der wasserführenden Schichten und Aquifermächtigkeiten (ab GOK).

Bohrung B 5:	Tiefe:	43,0 m
	Aquifer:	32,1 m - 32,5 m
		33,6 m - 33,7 m
		38,2 m - 39,7 m
		40,1 m - 40,8 m
	Aquifermächtigkeiten gesamt: 2,7 m	
Bohrung B 6:	Tiefe:	46,6 m
	Aquifer:	33,18 m - 33,24 m
		37,00 m - 39,00 m
		41,50 m - 44,107 m
	Aquifermächtigkeiten gesamt: 4,66 m	
Bohrung B 7:	Tiefe:	48,2 m
	Aquifer:	31,9 m - 32,4 m
		35,5 m - 37,3 m
		44,2 m - 44,8 m
	Aquifermächtigkeiten gesamt: 3,1 m	
Bohrung B 8:	Tiefe:	51,1 m
	Aquifer:	37,9 m - 39,0 m
		41,0 m - 47,1 m
	Aquifermächtigkeiten gesamt: 7,2 m	
Bohrung B 9:	Tiefe:	50,6 m
	Aquifer:	45,0 m - 45,7 m
		46,6 m - 48,2 m
	Aquifermächtigkeiten gesamt: 2,3 m	

4. Pumpversuche an den Bohrungen B5 bis B9

Aufgrund Dezember 1989 wurden an den Bohrungen B5 bis B9, je nach Wasserdargebot, 1- bis 2-stufige Pumpversuche durchgeführt. Gemessen wurden jeweils die Absenkungen und die Aufspiegelung. Die Zahlenwerte sind in Beilage 2 (5 Blatt) zusammengestellt.

Die Auswertung der Absenkungen und Aufspiegelungen erfolgte nach COOPER & JACOB nach der Gleichung:

$$T = 0.183 \cdot Q / ds$$

Dabei sind:

T = Transmissivität (m^2/h)

Q = Fördermenge (m^3/s)

ds = Steigung der Ausgleichsgeraden in einer logarithmischen Dekade.

Die Durchlässigkeitstabelle errechnen sich aus:

$$T / M$$

wobei M die Aquifermächtigkeit darstellt.

Als Aquifermächtigkeit wird die Summe der in Tab. 1 angewiesenen Einheitsmächtigkeiten je Bohrung herangezogen.

Die graphische Darstellung der Absenkungs- und Aufspiegelungskurven sowie die Pumpversuchsergebnisse sind Beilage 3 (15 Blatt) zu entnehmen.

In Tab. 2 sind die aus den Pumpversuchen an Bohrungen mit 5° Verrohrung errechneten Aquiferparameter zusammengestellt.

Tab. 2: Zusammenstellung der Aquiferparameter

Bohrung		Transmissivität (m ² /s)	k _t -Wert (m/s)	Aquifermächtigkeit (m)
Bohrung B5	Absenkung	$1.20 \cdot 10^{-5}$	$4.44 \cdot 10^{-6}$	2.7
	Aufspiegelung	$1.84 \cdot 10^{-5}$	$6.81 \cdot 10^{-6}$	2.7
	Mittel	$1.52 \cdot 10^{-5}$	$5.63 \cdot 10^{-6}$	
Bohrung B6	Absenkung	$1.88 \cdot 10^{-4}$	$4.03 \cdot 10^{-5}$	4.66
	Aufspiegelung	$3.56 \cdot 10^{-4}$	$7.64 \cdot 10^{-5}$	4.66
	Mittel	$2.72 \cdot 10^{-4}$	$5.84 \cdot 10^{-5}$	
Bohrung B7	Absenkung	$2.65 \cdot 10^{-4}$	$8.55 \cdot 10^{-5}$	3.1
	Aufspiegelung	$1.86 \cdot 10^{-4}$	$6.00 \cdot 10^{-5}$	3.1
	Mittel	$2.26 \cdot 10^{-4}$	$7.28 \cdot 10^{-5}$	
Bohrung B8	Absenkung	$8.60 \cdot 10^{-5}$	$1.19 \cdot 10^{-5}$	7.2
	Aufspiegelung	$1.69 \cdot 10^{-4}$	$2.35 \cdot 10^{-5}$	7.2
	Mittel	$1.28 \cdot 10^{-4}$	$1.77 \cdot 10^{-5}$	
Bohrung B9	Absenkung	$2.51 \cdot 10^{-5}$	$1.09 \cdot 10^{-5}$	2.3
	Aufspiegelung	$2.71 \cdot 10^{-5}$	$1.18 \cdot 10^{-5}$	2.3
	Mittel	$2.61 \cdot 10^{-5}$	$1.14 \cdot 10^{-5}$	

4.1 Aquiferparameter

Aquifermächtigkeit

Wie aus der Kernaufnahme und den daraus resultierenden Bohrprofilen hervorgeht, wurden durch die Bohrungen in Tiefen zwischen 32m und 48m wasserführende Schichten aufgeschlossen. Wie aus Tab.2 ersichtlich, handelt es sich nicht um einen einheitlichen Aquifer mit durchgehend gleicher Mächtigkeit, sondern jeweils um eine kleine Anzahl von sandigen Lagen mit unterschiedlichen Mächtigkeiten. Wie sich diese angestrafften Sandlagen in vertikaler und horizontaler Richtung verzweigen, kann nur schwer beantwortet werden.

Aufgrund des homogenen Bildes des konstruierten Grundwasseralhypses (Beilage 4) kann jedenfalls davon ausgegangen werden, daß ein hydraulischer Zusammenhang unter den durchörterten wasserführenden Lagen besteht.

Auf die im Zuge der Pumpversuche durchgeführten Absenkungen in den einzelnen Brunnen reagierten die anderen Pegeln nicht. Dies ist auf die nur sehr geringen Durchlässigkeiten der wasserführenden Sandlagen und die damit beschränkte Reichweite der Absenktrichter zurückzuführen.

Einzelhäufigkeiten und Gesamthäufigkeiten der durchörterten Sandlagen sind von Bohrung zu Bohrung zum Teil sehr unterschiedlich.

Der hydrogeologischen Beurteilung der Wasserhöflichkeit der Sedimente unter dem Deponieareal wird eine gemittelte Aquifermächtigkeit von

$$M = 4 \text{ m}$$

zugrunde gelegt.

Durchlässigkeitsbeiwerte (k_f -Wert)

Wie aus der Zusammenstellung in Tab.2 ersichtlich, liegen die aus den Pumpversuchen ermittelten Durchlässigkeitsbeiwerte bei den Bohrungen B6 bis B9 in der Größenordnung von 10^{-5} m/s , nur aus den Pumpversuchswerten der Bohrung B5 resultiert ein k_f -Wert von 10^{-6} m/s . Diese Werte entsprechen auch etwa jenen, die aus den 4" Bohrungen B2 bis B4 ermittelt wurden.

Für die weiteren hydraulischen Überlegungen wird ein aus den Bohrungen B5 bis B9 ermittelter Durchlässigkeitsbeiwert von

$$k_f = 3,3 \cdot 10^{-5} \text{ m/s}$$

herangezogen.

Nutzbare Porosität

Für diesen sehr kleinen mittleren Durchlässigkeitsbeiwert lassen sich nach den üblichen Formeln keine nutzbaren Porositäten mehr errechnen.

Aus den Bestimmungen von Abstandsgeschwindigkeit mittels Tracermethoden lassen sich für Sedimente ähnlicher Korngrößenzusammensetzung nutzbare Porositäten von jedenfalls kleiner als 5% ermitteln.

Für eine Abschätzung der Menge des unter dem Deponeareal abströmenden Wassers wird eine nutzbare Porosität von:

$$p^* = 5\%$$

angenommen. Diese ist zweifellos als eine oberste Grenze von, in solchen Sedimenten möglichen nutzbaren Porositäten anzusehen.

5. Grundwasserströmungsrichtung und Grundwassergefälle

Beilage 4 zeigt den aus den Abstichmaßmessungen vom 11.12.1989 unter Verwendung der Bohrungen B2 bis B9 konstruierten Grundwasserisohypsenplan. Wie bereits erwähnt, ist die Bohrung B1 nicht funktionsfähig und kann für hydrogeologische Aussagen nicht herangezogen werden.

Ein Vergleich der Abstichmaße mit den Bohrprofilen zeigt eine Übereinstimmung von Grundwasserspiegel Lage und Tieflage des obersten wasserführenden Horizontes.

Wie aus dem Isolinienplan (Beilage 4) ersichtlich, strömt in dem durch die Bohrungen erfassten Bereich das tiefliegende Grundwasser ziemlich genau nach Osten ab.

Das Grundwassergefälle, ermittelt in Strömungsrichtung zwischen den Bohrungen B6 und B9, errechnet sich mit

$$I = 2\%$$

6. Abstandsgeschwindigkeit und Grundwasserabstrom

Abstandsgeschwindigkeit

Aus den eingangs ausgewiesenen Aquiferparametern

$$\text{Durchlässigkeitsbeiwert } k_f = 3,3 \cdot 10^{-5} \text{ m/s}$$

$$\text{nutzbare Porosität } p^* = 5\%$$

$$\text{Grundwassergefälle } I = 2\%$$

errechnet sich eine Abstandsgeschwindigkeit von

$$v_s = 1,14 \text{ m/Tag}$$

welche allerdings aufgrund der Unsicherheiten bezüglich der nutzbaren Porosität als Richtwert anzusehen ist.

Grundwasserabstrom

Zur Berechnung des unter dem Deponearzal abströmenden Grundwassers wird ein Aquiferquerschnitt von $450\text{m} \times 4\text{m}$ herangezogen.

Die Aquifermächtigkeit resultiert aus der aus der gemittelten Mächtigkeit der in den Bohrungen angetroffenen wasserführenden Schichten (Tab.1). Die Breite des Aquifers ist aus dem Grundwassericohydropplan (Beilage 4) entnommen.

Aus diesen, sowie dem Gebietsdurchlässigkeitsbeiwert von $k_f = 3,3 \cdot 10^{-5} \text{ m/s}$ und dem Grundwassergefälle von 2% errechnet sich unter dem Deponearzal abströmende Grundwassermenge von

$$Q = 1,2 \text{ l/s}$$

7. Zusammenfassende Wertung der Ergebnisse

Unter dem im Ghartwald vorgesehenen Deponearzal sind in Tiefen zwischen 32m und 50m einige wenige wasserführende Schichten vorhanden.

Es handelt sich hierbei um Sande bis schlufige Sande.

Aus den Ergebnissen von zumeist 2-stufigen Kurzpumpversuchen errechnen sich aus Absenkungen und Aufspiegelungen jeweils Durchlässigkeitsbeiwerte im Bereich von 10^{-5} bis 10^{-6} m/s .

Das Grundwasser strömt im untersuchten Bereich mit nur geringer Streuungsbreite gegen Osten ab.

Die unter dem gesamten Deponieareal im Tiefenabschnitt zwischen Km und Km abströmende Grundwassermenge ist sehr gering und errechnet sich mit etwas über 1 l/s.

8. Beweissicherung

Aus hydrogeologischer Sicht sind die zu Brünnen ausgebauten Bohrungen so situiert, daß sie Voraussetzungen für die Lage von Beweissicherungsbrunnen voll entsprechen.

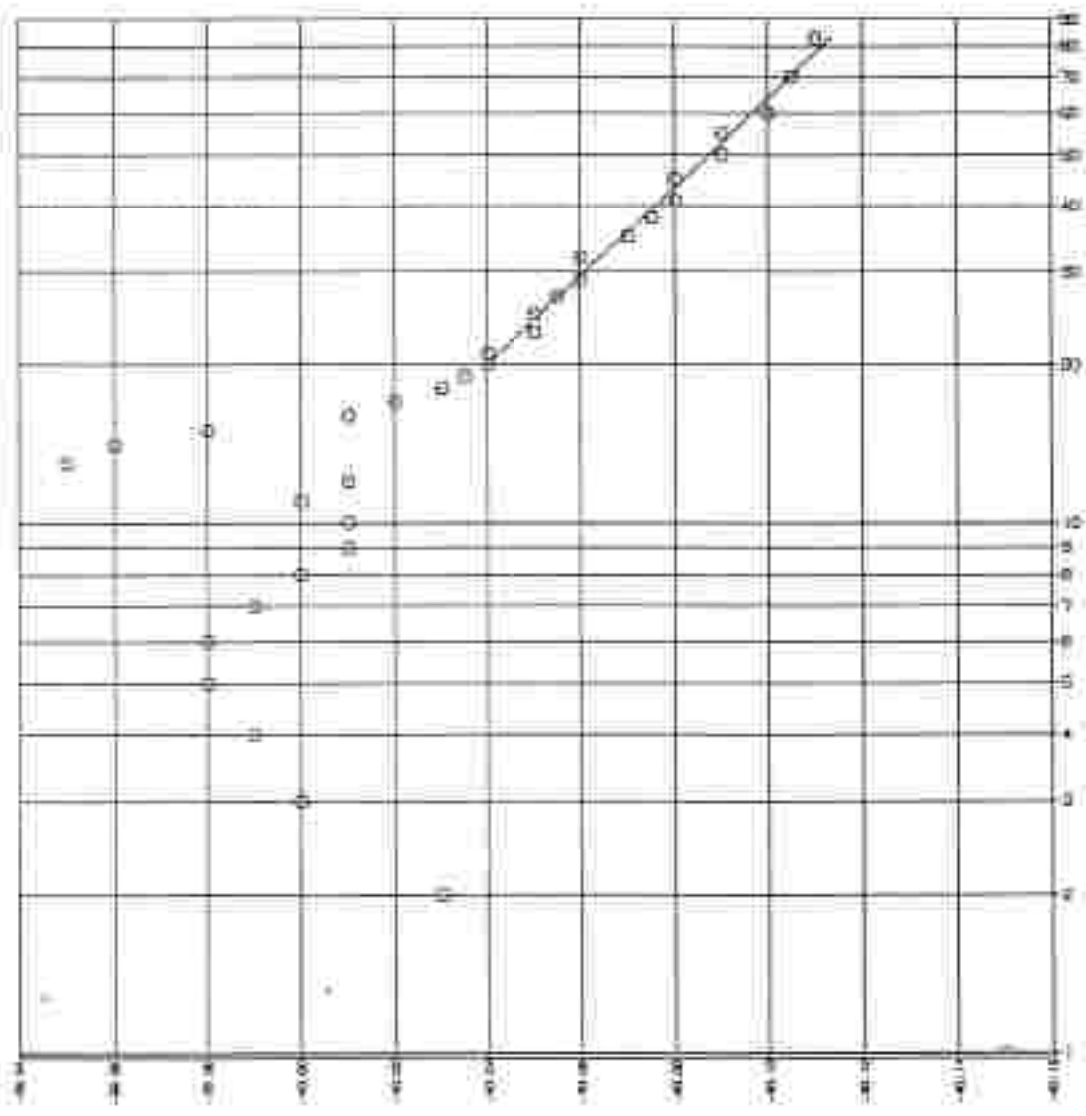
Die Brunnen B4, B8 und B9 liegen oberströmig der Deponiefläche und sind als 0-Pegel anzusehen.

Genau in Abströmrichtung der Deponiefläche liegen die Brunnen B3, B5, B6 und B7.



H. P. Leditsky

Graz, Dezember 1989

B 2.1. PUMPSUFE**REGRESSION B. FORM**

$$Y = 0.100 + 0.977 \cdot X$$

DEUTSCHER KALI	0.00	0.00
DEUTSCHER KALI	0.25	0.25
DEUTSCHER KALI	0.50	0.50
DEUTSCHER KALI	0.75	0.75
DEUTSCHER KALI	1.00	1.00
DEUTSCHER KALI	1.25	1.25
DEUTSCHER KALI	1.50	1.50
DEUTSCHER KALI	1.75	1.75
DEUTSCHER KALI	2.00	2.00
DEUTSCHER KALI	2.25	2.25
DEUTSCHER KALI	2.50	2.50
DEUTSCHER KALI	2.75	2.75
DEUTSCHER KALI	3.00	3.00
DEUTSCHER KALI	3.25	3.25
DEUTSCHER KALI	3.50	3.50
DEUTSCHER KALI	3.75	3.75
DEUTSCHER KALI	4.00	4.00
DEUTSCHER KALI	4.25	4.25
DEUTSCHER KALI	4.50	4.50
DEUTSCHER KALI	4.75	4.75
DEUTSCHER KALI	5.00	5.00
DEUTSCHER KALI	5.25	5.25
DEUTSCHER KALI	5.50	5.50
DEUTSCHER KALI	5.75	5.75
DEUTSCHER KALI	6.00	6.00
DEUTSCHER KALI	6.25	6.25
DEUTSCHER KALI	6.50	6.50
DEUTSCHER KALI	6.75	6.75
DEUTSCHER KALI	7.00	7.00
DEUTSCHER KALI	7.25	7.25
DEUTSCHER KALI	7.50	7.50
DEUTSCHER KALI	7.75	7.75
DEUTSCHER KALI	8.00	8.00
DEUTSCHER KALI	8.25	8.25
DEUTSCHER KALI	8.50	8.50
DEUTSCHER KALI	8.75	8.75
DEUTSCHER KALI	9.00	9.00
DEUTSCHER KALI	9.25	9.25
DEUTSCHER KALI	9.50	9.50
DEUTSCHER KALI	9.75	9.75
DEUTSCHER KALI	10.00	10.00

REGRESSION Q_s FORM

$$Y = 0.0001472 \cdot H + 1$$

DOLOMITEN (H = 0.100 mm)

H = 0.0001472

SCHIST (H = 0.085 mm)

GRANIT (H = 0.200 mm)

GRANIT (H = 0.140 mm)

GRANIT (H = 0.140 mm)

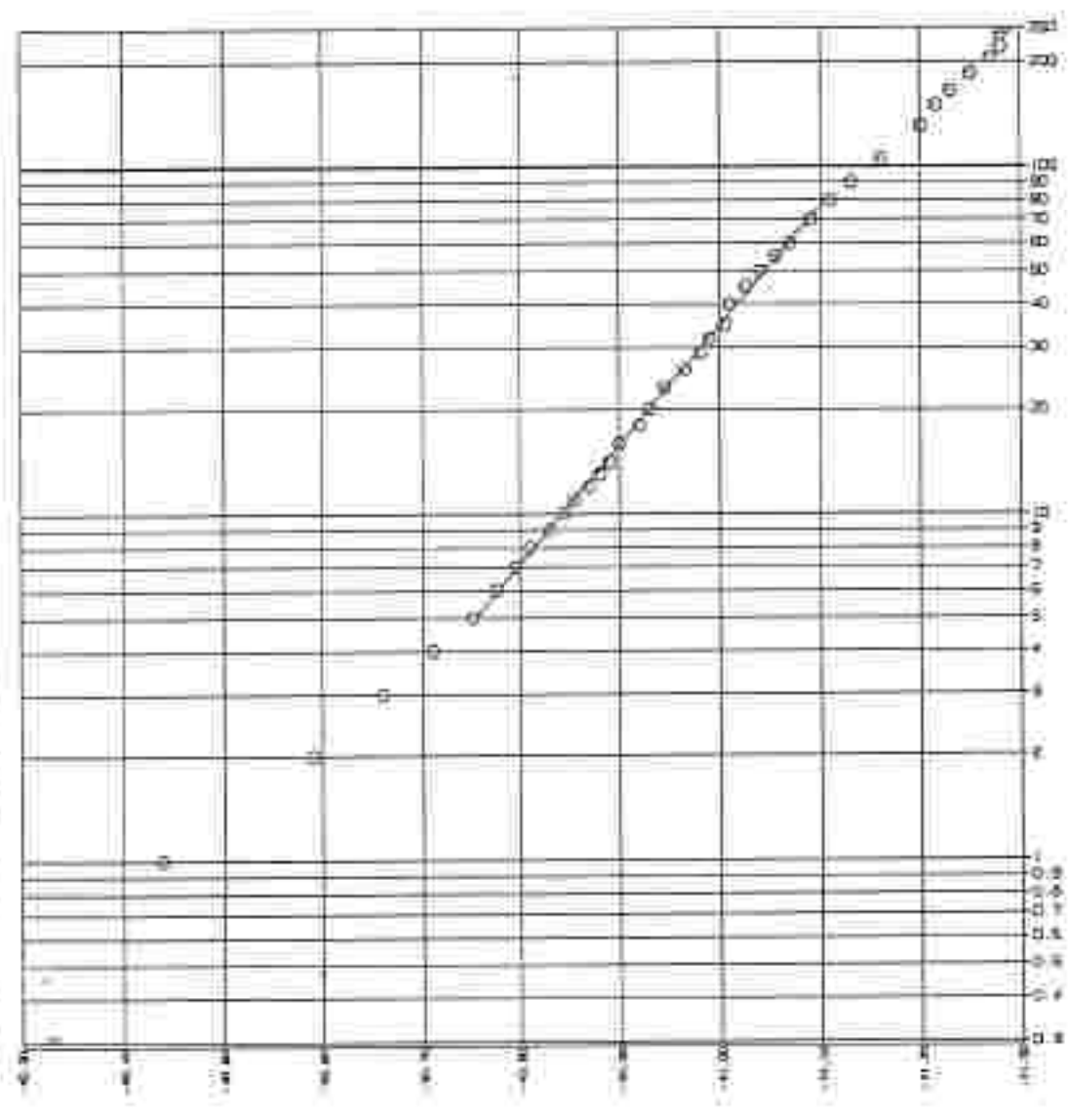
(DOLOMITEN + H) = 0.0001472

W = 0.0001472

W = 0.0001472

GRANIT (H = 0.140 mm)

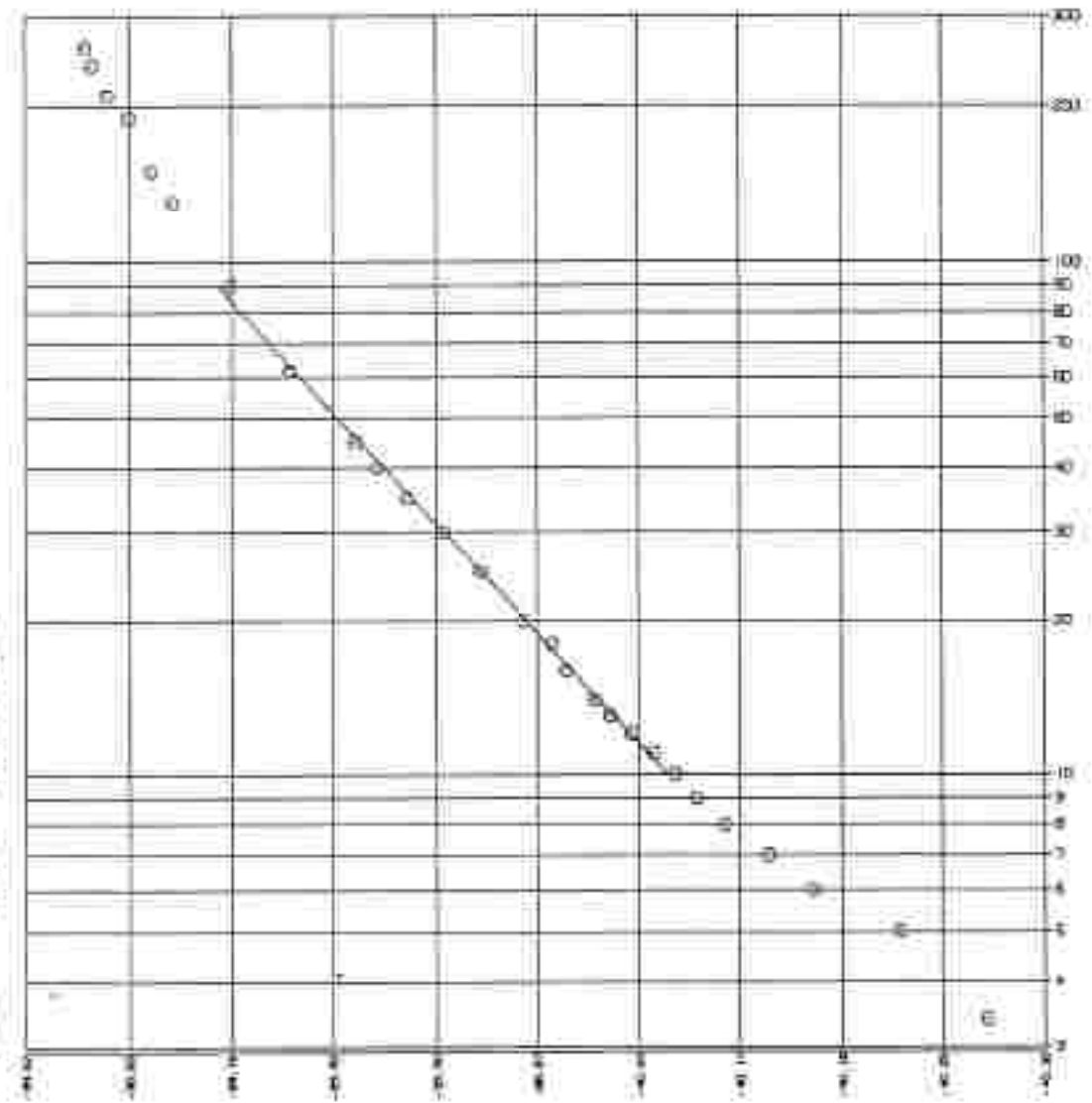
B 2 2. PUMPSSTUFE



FESTPRESSUNG D, PDRM



B 2 FLUFSPIEGELUNG

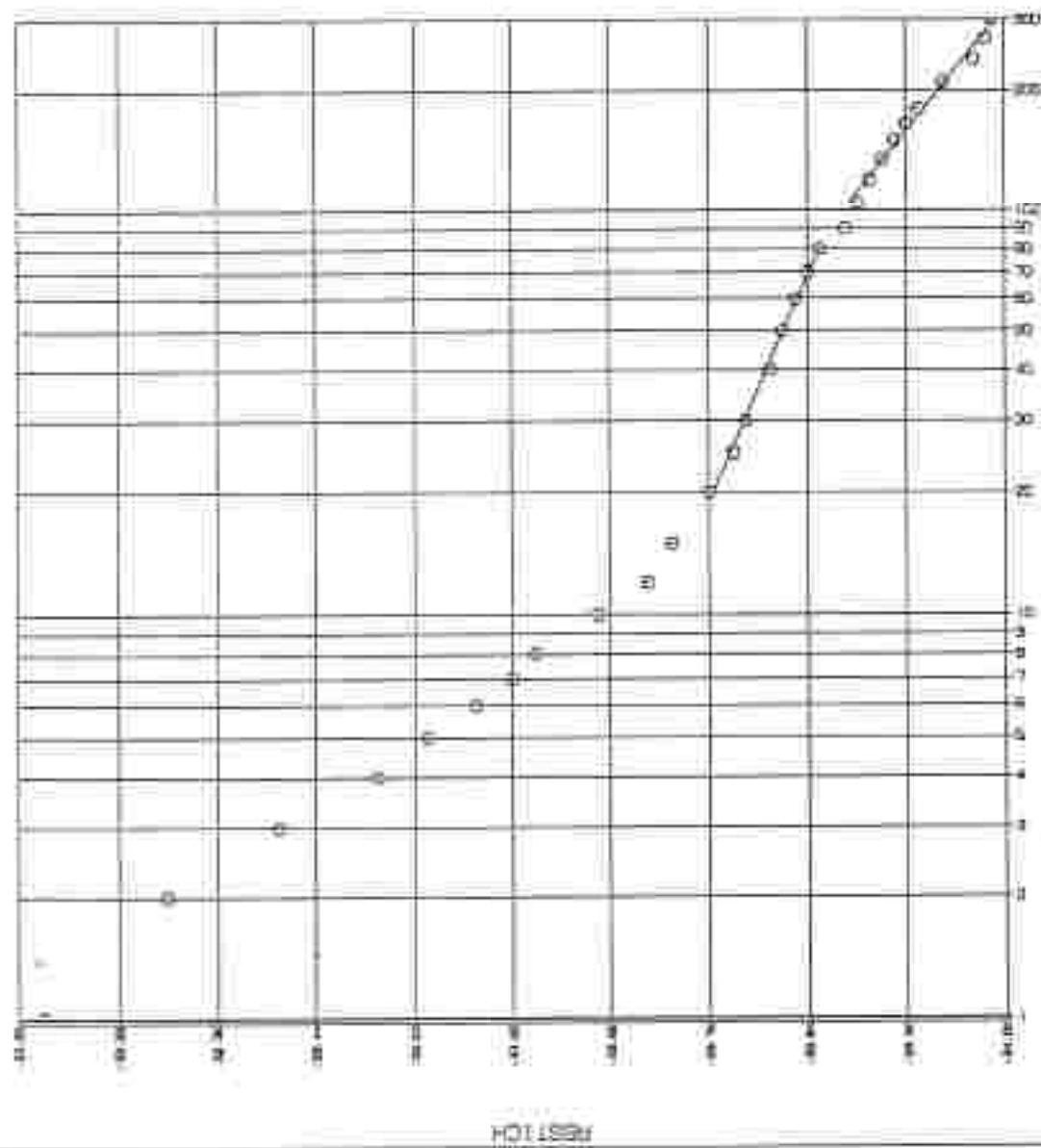


REGRESSION D, FORM

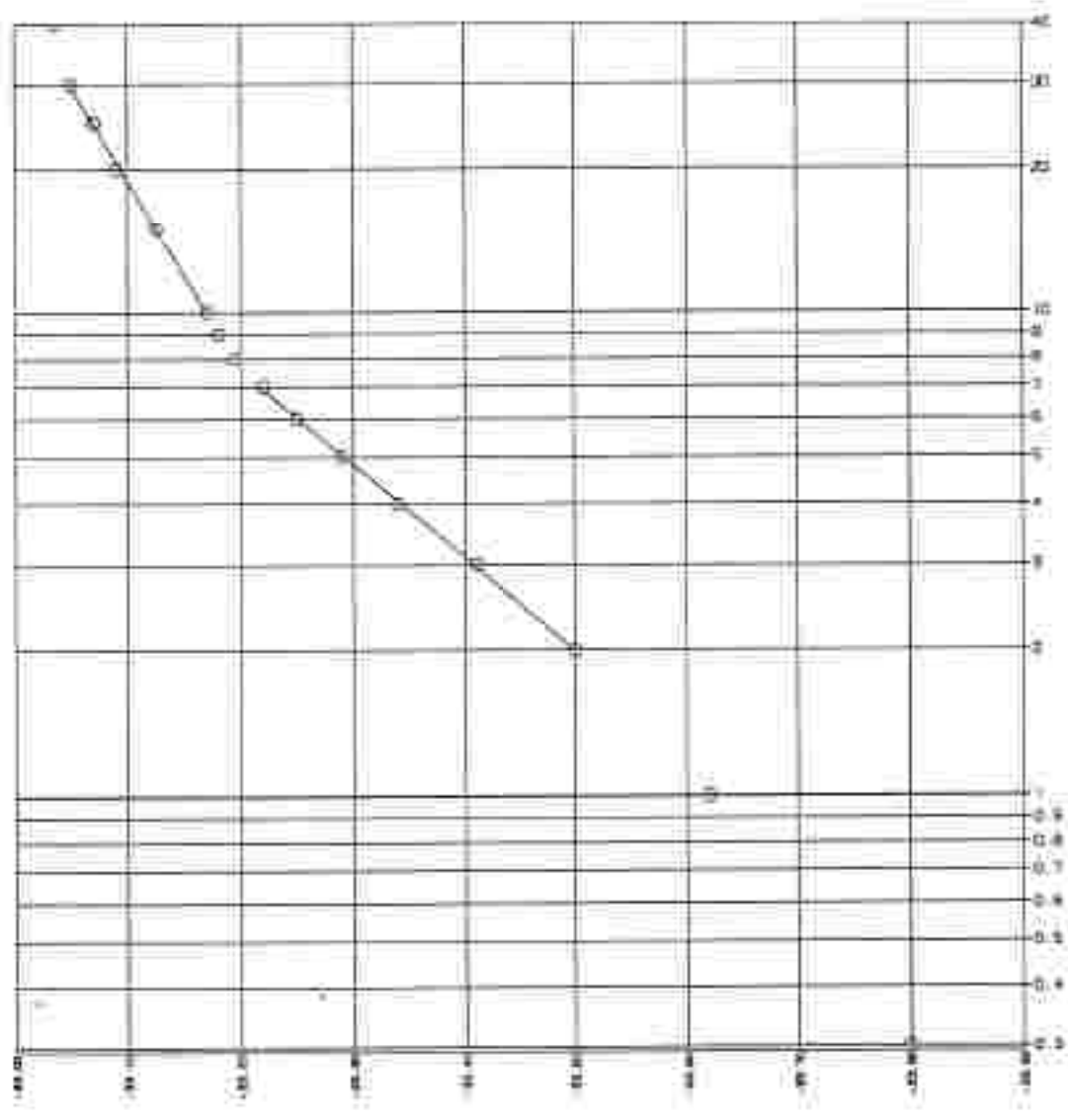
$$y = 8 + 0.4 \cdot \ln(x + 1)$$

MEAN DIFFERENCE	20.013.000 m	\rightarrow 0.1010
MEAN DIFFERENCE	0.000.000 m	\rightarrow 0.0000
HYPOTHESIS	0.000.000 m	\rightarrow 0.0000
0.000.000 m	0.000.000 m	\rightarrow 0.0000
D. 0.000	0.000.000 m	\rightarrow 0.0000
N. 0.000	0.000.000 m	\rightarrow 0.0000
X. < 20.013.000 m / (ECL 0.0)	0.000.000 m	\rightarrow 0.0000
Y. > 20.013.000 m / (ECL 0.0)	0.000.000 m	\rightarrow 0.0000
Z. < 0.000.000 m / (ECL 0.0)	0.000.000 m	\rightarrow 0.0000
A. > 0.000.000 m / (ECL 0.0)	0.000.000 m	\rightarrow 0.0000
HYPOTHESIS	0.016.000 m	\rightarrow 0.1000
MEAN DIFFERENCE	0.016.000 m	\rightarrow 0.1000
MEAN DIFFERENCE	-0.016.000 m	\rightarrow -0.1000
HYPOTHESIS	-0.016.000 m	\rightarrow -0.1000
0.000.000	0.000.000 m	\rightarrow 0.0000
D. 0.000	0.000.000 m	\rightarrow 0.0000
N. 0.000	0.000.000 m	\rightarrow 0.0000
X. < 0.000.000 m / (ECL 0.0)	0.000.000 m	\rightarrow 0.0000
Y. > 0.000.000 m / (ECL 0.0)	0.000.000 m	\rightarrow 0.0000
Z. < -0.000.000 m / (ECL 0.0)	0.000.000 m	\rightarrow 0.0000
A. > -0.000.000 m / (ECL 0.0)	0.000.000 m	\rightarrow 0.0000

0.3 ABSCHÄMUNG



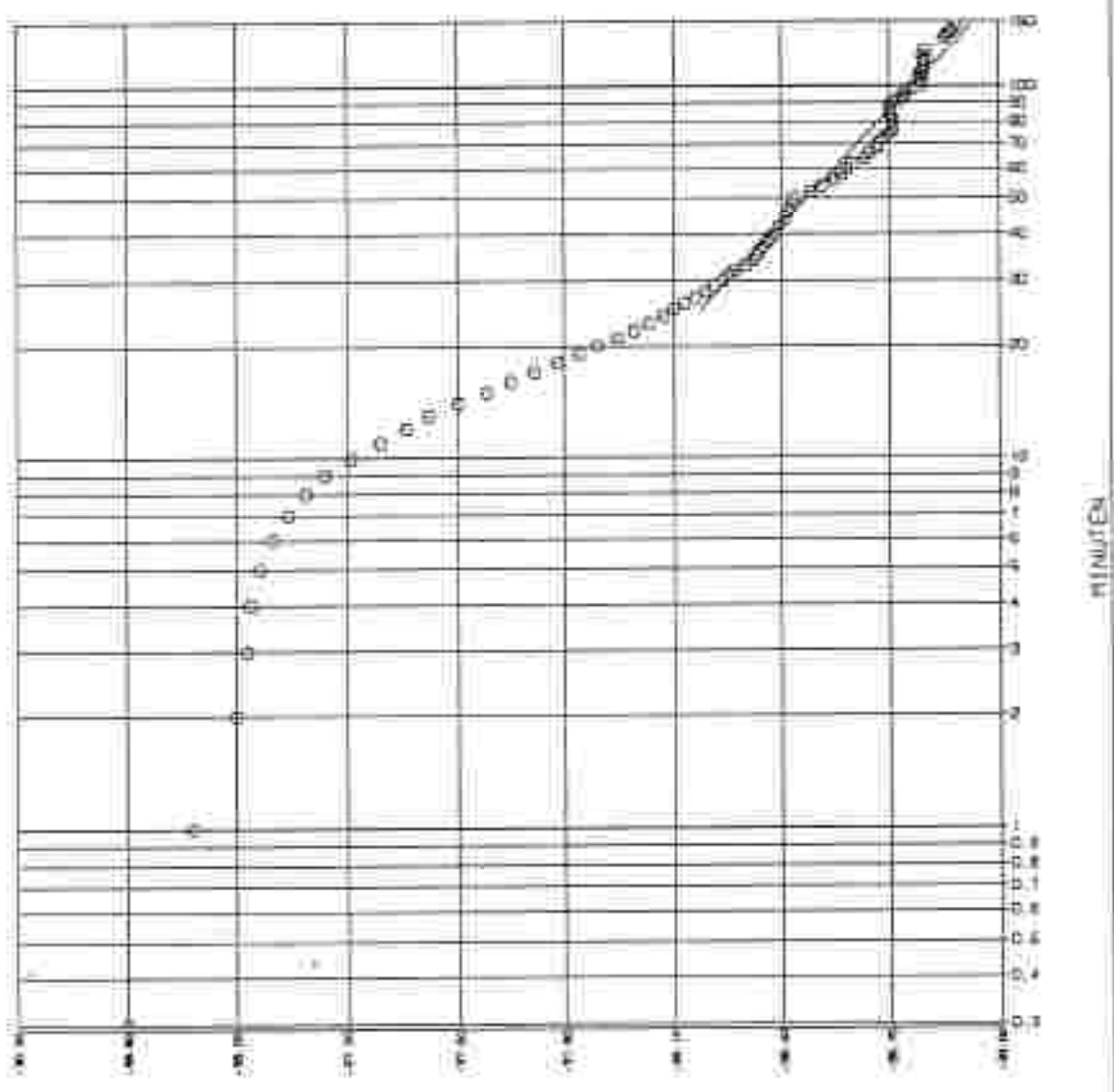
B 3 AUFSPIEGELUNG



REGRESSION (D. FÖRER)

WERT	WERT = H = H ₀ + H ₁ T + H ₂ T ²
H ₀ = 0.600000	0.600000
H ₁ = 0.000000	0.000000
H ₂ = 0.000000	0.000000
H ₃ = 0.000000	0.000000
H ₄ = 0.000000	0.000000
H ₅ = 0.000000	0.000000
H ₆ = 0.000000	0.000000
H ₇ = 0.000000	0.000000
H ₈ = 0.000000	0.000000
H ₉ = 0.000000	0.000000
H ₁₀ = 0.000000	0.000000
H ₁₁ = 0.000000	0.000000
H ₁₂ = 0.000000	0.000000
H ₁₃ = 0.000000	0.000000
H ₁₄ = 0.000000	0.000000
H ₁₅ = 0.000000	0.000000
H ₁₆ = 0.000000	0.000000
H ₁₇ = 0.000000	0.000000
H ₁₈ = 0.000000	0.000000
H ₁₉ = 0.000000	0.000000
H ₂₀ = 0.000000	0.000000
H ₂₁ = 0.000000	0.000000
H ₂₂ = 0.000000	0.000000
H ₂₃ = 0.000000	0.000000
H ₂₄ = 0.000000	0.000000
H ₂₅ = 0.000000	0.000000
H ₂₆ = 0.000000	0.000000
H ₂₇ = 0.000000	0.000000
H ₂₈ = 0.000000	0.000000
H ₂₉ = 0.000000	0.000000
H ₃₀ = 0.000000	0.000000
H ₃₁ = 0.000000	0.000000
H ₃₂ = 0.000000	0.000000
H ₃₃ = 0.000000	0.000000
H ₃₄ = 0.000000	0.000000
H ₃₅ = 0.000000	0.000000
H ₃₆ = 0.000000	0.000000
H ₃₇ = 0.000000	0.000000
H ₃₈ = 0.000000	0.000000
H ₃₉ = 0.000000	0.000000
H ₄₀ = 0.000000	0.000000
H ₄₁ = 0.000000	0.000000
H ₄₂ = 0.000000	0.000000
H ₄₃ = 0.000000	0.000000
H ₄₄ = 0.000000	0.000000
H ₄₅ = 0.000000	0.000000
H ₄₆ = 0.000000	0.000000
H ₄₇ = 0.000000	0.000000
H ₄₈ = 0.000000	0.000000
H ₄₉ = 0.000000	0.000000
H ₅₀ = 0.000000	0.000000
H ₅₁ = 0.000000	0.000000
H ₅₂ = 0.000000	0.000000
H ₅₃ = 0.000000	0.000000
H ₅₄ = 0.000000	0.000000
H ₅₅ = 0.000000	0.000000
H ₅₆ = 0.000000	0.000000
H ₅₇ = 0.000000	0.000000
H ₅₈ = 0.000000	0.000000
H ₅₉ = 0.000000	0.000000
H ₆₀ = 0.000000	0.000000
H ₆₁ = 0.000000	0.000000
H ₆₂ = 0.000000	0.000000
H ₆₃ = 0.000000	0.000000
H ₆₄ = 0.000000	0.000000
H ₆₅ = 0.000000	0.000000
H ₆₆ = 0.000000	0.000000
H ₆₇ = 0.000000	0.000000
H ₆₈ = 0.000000	0.000000
H ₆₉ = 0.000000	0.000000
H ₇₀ = 0.000000	0.000000
H ₇₁ = 0.000000	0.000000
H ₇₂ = 0.000000	0.000000
H ₇₃ = 0.000000	0.000000
H ₇₄ = 0.000000	0.000000
H ₇₅ = 0.000000	0.000000
H ₇₆ = 0.000000	0.000000
H ₇₇ = 0.000000	0.000000
H ₇₈ = 0.000000	0.000000
H ₇₉ = 0.000000	0.000000
H ₈₀ = 0.000000	0.000000
H ₈₁ = 0.000000	0.000000
H ₈₂ = 0.000000	0.000000
H ₈₃ = 0.000000	0.000000
H ₈₄ = 0.000000	0.000000
H ₈₅ = 0.000000	0.000000
H ₈₆ = 0.000000	0.000000
H ₈₇ = 0.000000	0.000000
H ₈₈ = 0.000000	0.000000
H ₈₉ = 0.000000	0.000000
H ₉₀ = 0.000000	0.000000
H ₉₁ = 0.000000	0.000000
H ₉₂ = 0.000000	0.000000
H ₉₃ = 0.000000	0.000000
H ₉₄ = 0.000000	0.000000
H ₉₅ = 0.000000	0.000000
H ₉₆ = 0.000000	0.000000
H ₉₇ = 0.000000	0.000000
H ₉₈ = 0.000000	0.000000
H ₉₉ = 0.000000	0.000000
H ₁₀₀ = 0.000000	0.000000

B 4 ABSÄNKUNG



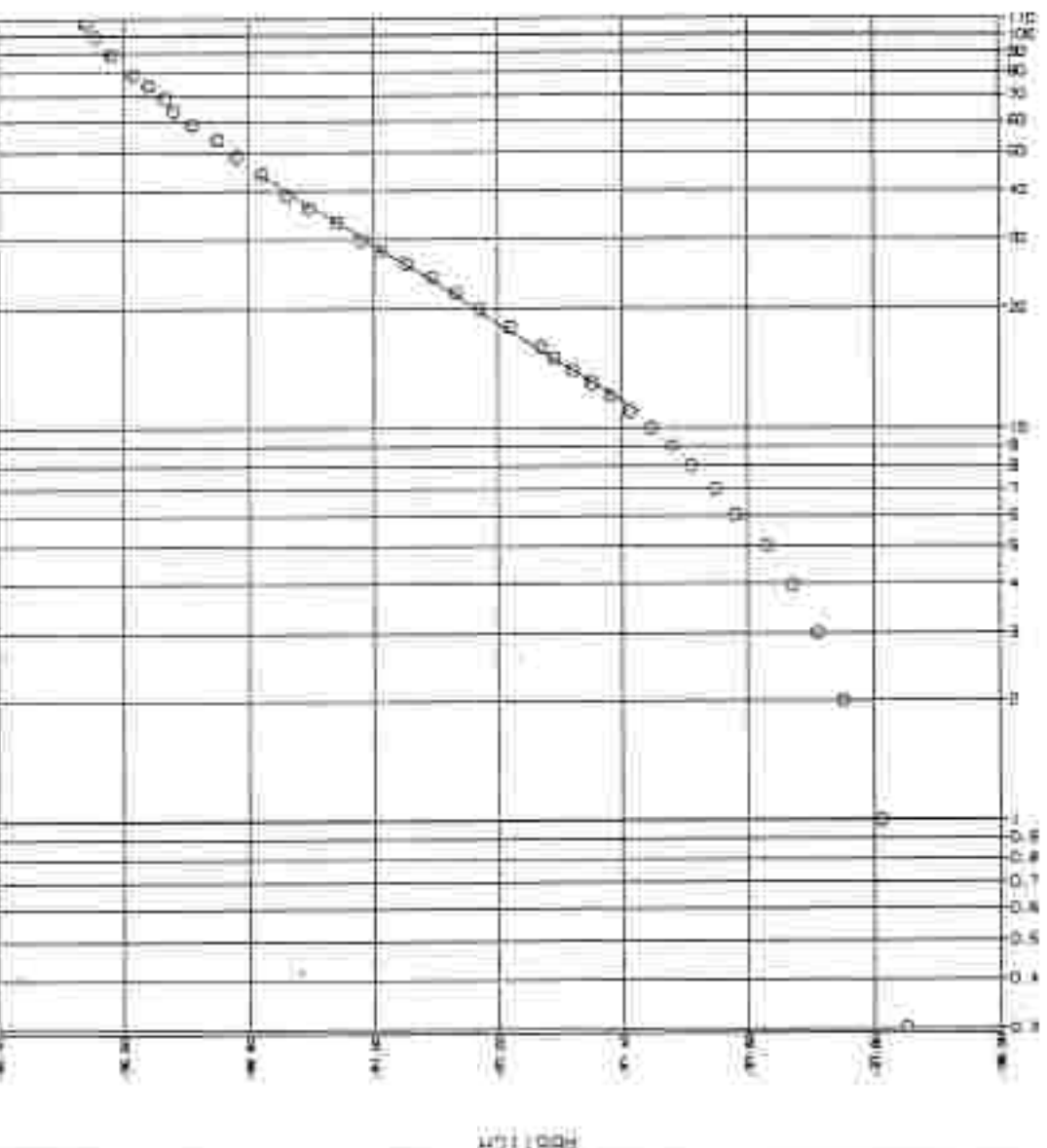
REMISSION D. FORM

5. 7. 1971 (H 19)

WERTSCHRIFTEN 100
0.000000

MINUTEN

ABDOSSELDON O. (1989)



MESSSTELLENBEOZEICHNUNG: II 5

Seehöhe MP (in mN): 398,40 m

DATUM (JJJJ/MMM)	UHRZEIT (HHMM)	ABSTICH (m)	BN-GRUNDWASSER- SPIEGEL (in mN)	DATUM (JJJJ/MMM)	UHRZEIT (HHMM)	ABSTICH (m)	BN-GRUNDWASSER- SPIEGEL (in mN)
891205	852	34,73	366,67	891206	1259	33,10	366,21
891205	856	34,57	364,23	891206	1301	33,12	365,20
891205	857	34,30	364,20	891206	1303	33,07	365,23
891205	858	34,34	364,18	891206	1305	33,02	365,38
891205	859	34,27	364,13	891206	1310	32,93	365,47
891205	860	34,29	364,11	891206	1315	32,86	365,54
891206	001	34,34	366,06	891206	1320	32,80	365,60
891206	002	34,38	364,02	891206	1325	32,78	365,64
891206	003	34,41	363,99	891206	1330	32,71	365,69
891206	004	34,44	363,96	891206	1340	32,63	365,77
891206	005	34,47	363,91	891206	1350	32,57	365,83
891206	007	34,51	363,88	891206	1400	32,52	365,88
891206	009	34,57	363,81	891206	1415	32,46	365,94
891206	011	34,16	364,24	891206	1430	32,47	365,96
891206	012	34,65	363,75	891206	1445	32,39	366,01
891206	015	34,59	363,71	891206	1500	32,36	365,94
891206	020	34,75	363,65	891206	1515	32,34	366,05
891206	025	34,79	363,62	891206	1545	32,30	366,10
891206	030	34,81	363,59	891206	1600	32,29	366,11
891206	035	34,81	363,59				
891206	040	34,78	363,61				
891206	050	34,74	363,66				
891206	054	34,72	363,68				
891206	056	34,90	363,60				
891206	057	34,95	363,45				
891206	058	35,00	363,40				
891206	1000	35,09	363,31				
891206	1002	35,15	363,26				
891206	1004	35,21	363,19				
891206	1056	35,25	363,14				
891206	1058	35,28	363,12				
891206	1010	35,29	363,11				
891206	1015	35,30	363,10				
891206	1030	35,29	363,11				
891206	1030	35,27	363,13				
891206	1040	35,31	363,09				
891206	1056	35,26	363,14				
891206	1100	35,21	363,19				
891206	1110	35,19	363,23				
891206	1120	35,17	363,23				
891206	1130	35,16	363,24				
891206	1140	35,17	363,23				
891206	1150	35,18	363,22				
891206	1200	35,10	363,22				
891206	1210	35,10	363,22				
891206	1220	35,17	363,23				
891206	1230	35,18	363,22				
891206	1245	35,12	363,28				
891206	1248	35,10	363,30				
891206	1249	35,06	364,54				
891206	1250	35,06	364,74				
891206	1251	35,08	364,85				
891206	1252	35,01	364,89				
891206	1253	35,06	364,94				
891206	1254	35,00	365,00				
891206	1255	35,05	365,05				
891206	1257	35,06	365,14				

GRUNDWASSERSTAND: Min = 363,09 m Max = 366,67 m
Mittel = 364,26 m Diff = 3,58 m

MESSSTELLEINZEICHNUNG: B-6

Geobasis: NP (m NN): 400.80 m

DATUM (JAHRTT)	UHRZEIT (HHMM)	ABSTICH (m)	SI-GRUNDWASSER- SPIEGEL (m NN)	DATUM (JAHRTT)	UHRZEIT (HHMM)	ABSTICH (m)	SI-GRUNDWASSER- SPIEGEL (m NN)
891205	019	32.71	368.09	891205	1407	33.21	367.59
891205	020	33.34	367.48	891205	1408	33.17	367.53
891205	021	33.30	367.42	891205	1409	33.18	367.04
891205	022	33.46	367.34	891205	1410	33.18	367.65
891205	023	33.54	367.26	891205	1411	33.12	367.08
891205	024	33.60	367.20	891205	1416	33.09	367.71
891205	025	33.75	367.05	891205	1418	33.07	367.73
891205	026	33.85	366.99	891205	1422	33.05	367.79
891205	027	33.94	366.86	891205	1425	33.03	367.77
891205	028	33.99	366.81	891205	1430	33.00	367.80
891205	029	34.02	366.78	891205	1435	32.98	367.01
891205	030	34.04	366.76	891205	1440	32.99	367.82
891205	032	34.08	366.72	891205	1445	32.96	367.84
891205	034	34.09	366.71	891205	1455	32.94	367.86
891205	035	34.09	366.71	891205	1505	32.92	367.68
891205	036	34.09	366.71	891205	1515	32.91	367.09
891205	040	34.10	366.70	891205	1530	32.89	367.01
891205	045	34.10	366.70	891205	1545	32.87	367.93
891205	050	34.09	366.71	891205	1600	32.86	367.94
891205	100	34.12	366.68	891205	1615	32.85	367.95
891205	110	34.10	366.70				
891205	120	34.09	366.72	GRUNDWASSERSTAND: Min		+ 364.58 m	Max + 368.09 m
891205	130	34.08	366.72	Mittel = 366.50 m		- 0.117	- 1.51 m
891205	133	34.92	365.83				
891205	134	35.10	365.65				
891205	136	35.18	365.42				
891205	138	35.46	365.34				
891205	140	35.50	365.30				
891205	142	35.68	365.22				
891205	144	35.60	365.20				
891205	147	35.82	365.10				
891205	150	35.83	365.17				
891205	155	35.68	365.12				
891205	1600	35.75	365.05				
891205	1610	35.77	365.03				
891205	1620	35.81	364.99				
891205	1630	35.87	364.93				
891205	1640	35.87	364.93				
891205	1650	35.91	364.95				
891205	1700	35.95	364.85				
891205	1715	35.95	364.85				
891205	1730	36.03	364.77				
891205	1745	36.00	364.80				
891205	1800	36.04	364.76				
891205	1820	36.08	364.72				
891205	1840	36.14	364.66				
891205	1900	36.16	364.64				
891205	1920	36.19	364.61				
891205	1940	36.22	364.58				
891205	1940	36.24	364.76				
891205	1951	34.19	366.61				
891205	1400	33.74	367.06				
891205	1403	33.56	367.25				
891205	1404	33.40	367.00				
891205	1405	33.33	367.47				
891205	1406	33.27	367.53				

MESSSTELLENBEZEICHNUNG: B.2

Siedhöhe MF (m NN): 401,10 m

DATUM (JAHRT)	UNTERZEIT (WERT)	ABSTICH (m)	SL-GRUNDWASSER- SPIEGEL (m NN)	DATUM (JAHRT)	UNTERZEIT (WERT)	ABSTICH (m)	SL-GRUNDWASSER- SPIEGEL (m NN)
091204	1047	31,17	369,93	091204	1441	32,37	368,73
091204	1048	31,15	368,85	091204	1442	32,06	369,05
091204	1049	31,03	369,17	091204	1443	31,87	369,23
091204	1050	31,71	369,39	091204	1444	31,76	369,36
091204	1051	31,67	369,43	091204	1445	31,63	369,47
091204	1052	31,76	369,34	091204	1446	31,55	369,55
091204	1054	31,88	369,22	091204	1447	31,50	369,60
091204	1055	31,94	369,16	091204	1448	31,45	369,65
091204	1056	31,98	369,20	091204	1449	31,41	369,69
091204	1057	31,88	369,22	091204	1450	31,38	369,72
091204	1058	31,82	369,30	091204	1451	31,35	369,75
091204	1101	31,53	369,17	091204	1454	31,33	369,77
091204	1101	31,57	369,12	091204	1458	31,31	369,79
091204	1102	32,01	369,09	091204	1459	31,30	369,80
091204	1104	32,05	369,05	091204	1500	31,29	369,81
091204	1105	32,40	368,70	091204	1505	31,27	369,83
091204	1108	32,28	368,86	091204	1510	31,20	369,84
091204	1109	32,10	369,00	091204	1515	31,25	369,85
091204	1110	32,07	369,03	091204	1525	31,22	369,88
091204	1111	32,01	369,09	091204	1535	31,21	369,89
091204	1112	32,01	369,09	091204	1545	31,18	369,91
091204	1113	32,04	369,06	091204	1600	31,18	369,92
091204	1114	32,07	369,03				
091204	1115	32,10	369,00				
091204	1116	32,12	368,99				
091204	1117	32,14	368,96				
091204	1119	32,17	368,93				
091204	1121	32,19	368,91				
091204	1124	32,21	368,89				
091204	1126	32,23	368,87				
091204	1130	32,24	368,86				
091204	1135	32,25	368,85				
091204	1140	32,25	368,86				
091204	1145	32,18	368,84				
091204	1150	32,17	368,83				
091204	1155	32,27	368,03				
091204	1200	32,26	368,84				
091204	1210	32,25	368,05				
091204	1214	32,25	368,05				
091204	1216	32,42	368,33				
091204	1218	32,01	368,49				
091204	1221	32,10	368,40				
091204	1223	32,07	368,43				
091204	1225	32,71	368,39				
091204	1230	32,72	368,38				
091204	1235	32,73	368,37				
091204	1240	32,74	368,36				
091204	1256	32,77	368,33				
091204	1300	32,78	368,32				
091204	1315	32,79	368,31				
091204	1321	32,81	368,29				
091204	1345	32,82	368,26				
091204	1400	32,82	368,26				
091204	1415	32,81	368,29				
091204	1430	32,81	368,29				
091204	1445	32,81	368,29				

GRUNDWASSERSTAND: Min. = 368,38 m Max. = 369,93 m
Mittel = 369,06 m Diff. = 1,55 m

MESSSTELLENBESCHREIBUNG: 8.8

Seehöhe: MRT (m NN): 417.32 m

DATUM (JAHRTAG)	UHRZEIT (HHMM)	ABSTICH (m)	SH-GRUNDWASSER- SPIEGEL (m NN)	DATUM (JAHRTAG)	UHRZEIT (HHMM)	ABSTICH (m)	SH-GRUNDWASSER- SPIEGEL (m NN)
891211	016	37.63	375.49	891211	1145	40.10	371.96
891211	017	37.68	374.44	891211	1150	40.21	371.93
891211	018	37.69	374.43	891211	1155	40.15	371.92
891211	019	37.66	374.46	891211	1200	40.14	371.98
891211	020	37.41	374.51	891211	1205	40.19	371.93
891211	021	37.59	374.54	891211	1210	40.09	371.92
891211	022	37.95	374.57	891211	1215	40.22	371.90
891211	023	37.54	374.58	891211	1225	40.25	371.87
891211	024	37.53	374.59	891211	1235	40.23	371.89
891211	025	37.83	374.59	891211	1245	40.27	371.85
891211	026	37.52	374.60	891211	1255	40.30	371.82
891211	027	37.52	374.60	891211	1305	40.29	371.83
891211	028	37.73	374.59	891211	1315	40.33	371.79
891211	029	37.86	374.57	891211	1320	40.33	371.79
891211	030	37.95	374.57	891211	1331	39.63	371.49
891211	031	38.03	374.59	891211	1332	39.17	371.95
891211	032	38.09	374.63	891211	1333	37.86	374.34
891211	033	38.12	374.60	891211	1334	37.69	374.43
891211	034	38.15	373.57	891211	1335	37.52	374.59
891211	035	38.17	373.56	891211	1336	37.41	374.71
891211	036	38.19	373.55	891211	1337	37.31	374.81
891211	037	38.20	373.52	891211	1338	37.24	374.88
891211	038	38.17	373.55	891211	1339	37.18	374.94
891211	039	38.17	373.56	891211	1340	37.14	374.98
891211	900	38.15	373.57	891211	1345	37.02	375.10
891211	911	38.14	373.58	891211	1350	36.95	375.17
891211	912	38.14	373.58	891211	1355	36.81	375.21
891211	913	38.58	373.44	891211	1400	36.98	375.24
891211	914	38.94	373.18	891211	1415	36.82	375.30
891211	915	39.19	372.33	891211	1430	36.78	375.34
891211	916	39.37	372.75	891211	1430	36.73	375.39
891211	917	39.46	372.56	891211	1430	36.71	375.41
891211	918	39.54	372.59	891211	1430	36.69	375.43
891211	919	39.60	372.52				
891211	920	38.54	372.48	GRUNDWASSERSTAND: Min = 371.29 m; Max = 375.49 m			
891211	920	39.57	372.45	Mittel = 373.40 m; Diff = 3.70 m			
891211	921	39.70	372.34				
891211	922	39.97	372.25				
891211	923	39.92	372.30				
891211	924	40.00	372.19				
891211	925	40.07	372.05				
891211	926	40.05	372.07				
891211	927	40.07	372.05				
891211	928	40.05	372.07				
891211	929	40.07	372.05				
891211	930	40.05	372.07				
891211	931	40.07	372.05				
891211	932	40.05	372.07				
891211	933	40.07	372.05				
891211	934	40.05	372.07				
891211	935	40.07	372.05				
891211	936	40.05	372.07				
891211	937	40.07	372.05				
891211	938	40.05	372.07				
891211	939	40.07	372.05				
891211	940	40.05	372.07				

MESSTELLENGEZEICHNUNG: 3 0

Seehöhe MP (m NN): 429,10 m

DATUM (JAHRETT)	WHRZEIT (HHMM)	ABSTICH (m)	SH-GRUNDWASSER- SPIEGEL (m NN)	DATUM (JAHRETT)	WHRZEIT (HHMM)	ABSTICH (m)	SH-GRUNDWASSER- SPIEGEL (m NN)
891207	017	43,80	376,20	891207	1316	44,61	375,45
891207	018	44,52	375,58	891207	1318	44,61	375,49
891207	019	44,62	375,48	891207	1320	44,57	375,53
891207	020	44,70	375,40	891207	1325	44,49	375,61
891207	021	44,78	375,34	891207	1330	44,46	375,56
891207	022	44,82	375,28	891207	1335	44,40	375,70
891207	023	44,88	375,22	891207	1340	44,37	375,23
891207	024	44,94	375,16	891207	1350	44,35	375,77
891207	025	44,97	375,13	891207	1400	44,30	375,88
891207	026	45,00	375,10	891207	1410	44,26	375,82
891207	027	45,08	375,06	891207	1420	44,26	375,84
891207	028	45,06	375,04	891207	1430	44,24	375,86
891207	029	45,08	375,04	891207	1445	44,23	375,87
891207	030	45,08	375,07	891207	1500	44,21	375,89
891207	031	45,08	375,02	891207	1515	44,19	375,91
891207	032	45,09	375,01	891207	1530	44,17	375,93
891207	033	45,10	375,00	891207	1545	44,15	375,95
891207	035	45,13	374,97	891207	1550	44,14	375,96
891207	036	45,14	374,98				
891207	038	45,16	374,84				
891207	040	45,17	374,93				
891207	045	45,21	374,89				
891207	050	45,24	374,86				
891207	055	45,20	374,84				
891207	060	45,21	374,82				
891207	070	45,30	374,80				
891207	070	45,32	374,79				
891207	071	45,34	374,79				
891207	074	45,37	374,73				
891207	076	45,38	374,71				
891207	1000	45,42	374,50				
891207	1015	45,44	374,68				
891207	1030	45,46	374,64				
891207	1045	45,48	374,62				
891207	1100	45,53	374,61				
891207	1120	45,51	374,59				
891207	1140	45,52	374,58				
891207	1200	45,54	374,56				
891207	1230	45,55	374,55				
891207	1300	45,57	374,53				
891207	1301	45,49	374,63				
891207	1302	45,37	374,73				
891207	1303	45,28	374,82				
891207	1304	45,19	374,91				
891207	1305	45,12	374,90				
891207	1306	45,06	375,04				
891207	1307	45,00	375,10				
891207	1308	44,95	375,15				
891207	1309	44,90	375,20				
891207	1310	44,85	375,24				
891207	1312	44,78	375,32				
891207	1314	44,71	375,39				

GRUNDWASSERSTAND: Min. = 374,53 m Max. = 376,20 m
Mittel = 375,18 m Diff. = 1,67 m

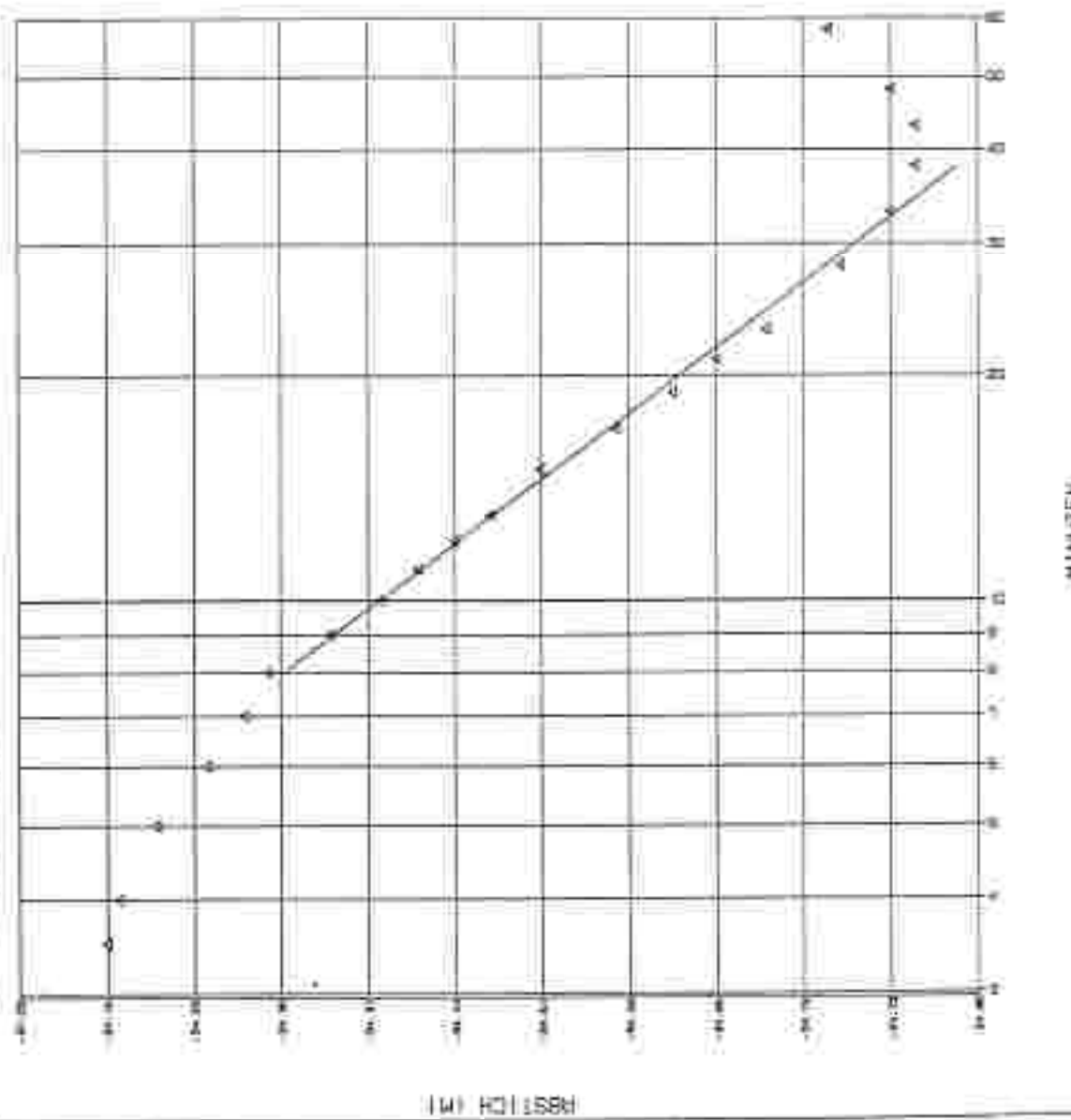
Bellage 3

REGRESSION D. FÖRDER

$$y = 0.0001620 + 0.1$$

DEUTSCHE MEERESTIEFE IN M.

B 6 NIEDERUNG



REGRESSION D. FORM

$y = 0.0474x + 0.18$

Autorenbezeichnung A =
B =

Autorenbezeichnung C =
D =

Autorenbezeichnung E =
F =

Autorenbezeichnung G =
H =

Autorenbezeichnung I =
J =

Autorenbezeichnung K =
L =

Autorenbezeichnung M =
N =

Autorenbezeichnung O =
P =

Autorenbezeichnung Q =
R =

Autorenbezeichnung S =
T =

Autorenbezeichnung U =
V =

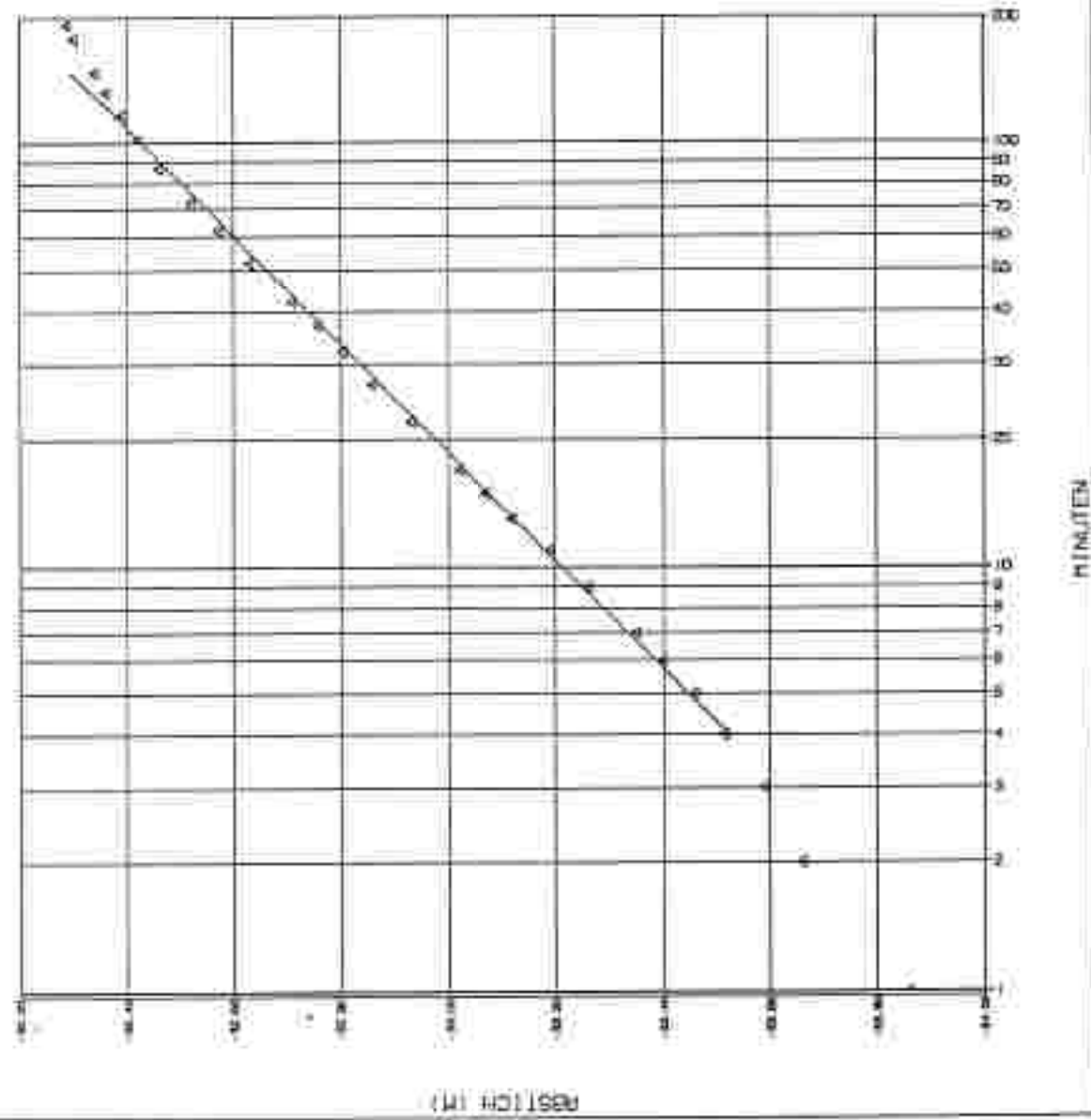
Autorenbezeichnung W =
X =

Autorenbezeichnung Y =
Z =

Autorenbezeichnung AA =
BB =

Autorenbezeichnung CC =
DD =

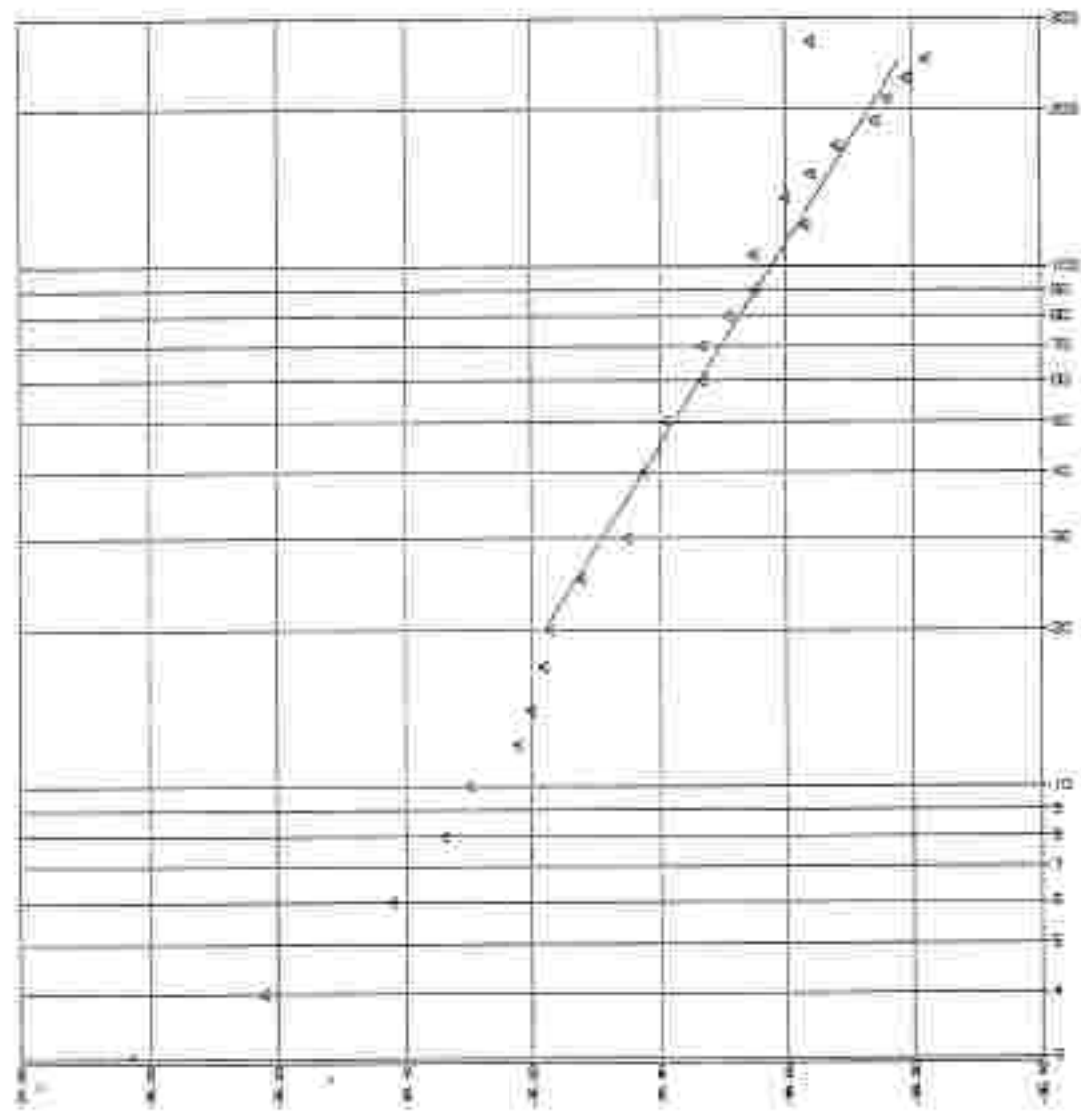
B 5 AUFSPIEGELUNG



Bettag 3

3

B 6 ABSEITKLING



REGRESSION D. FNR!

Y = 0,0018 X + 0,2

$$y = 0,0018 \cdot x + 0,2$$

R² = 0,9416
n = 14

$$y = 0,0018 \cdot x + 0,2$$

R² = 0,9993
n = 14

$$y = 0,0018 \cdot x + 0,2$$

R² = 0,999
n = 14

$$y = 0,0018 \cdot x + 0,2$$

R² = 0,999
n = 14

$$y = 0,0018 \cdot x + 0,2$$

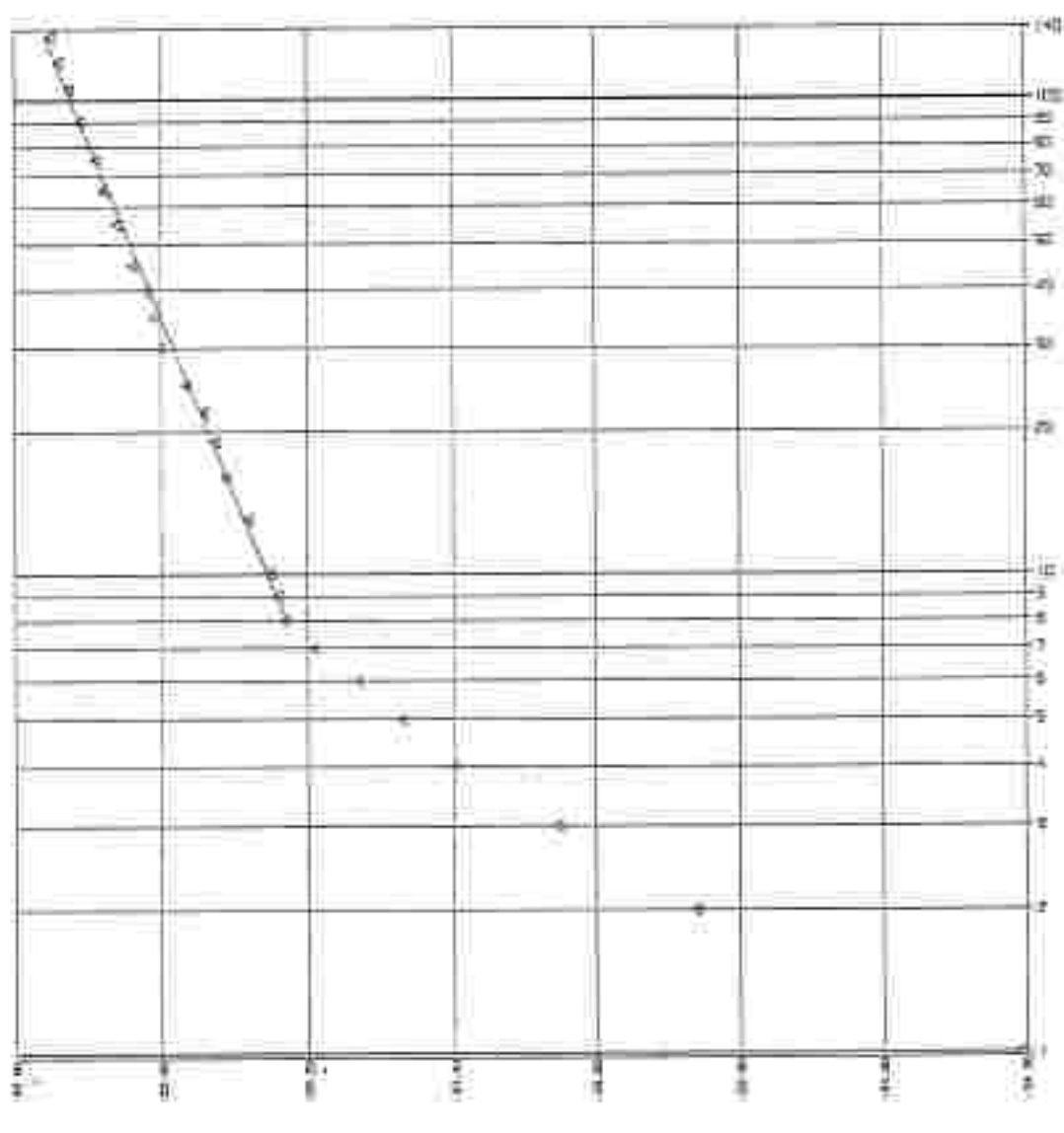
R² = 0,999
n = 14

$$y = 0,0018 \cdot x + 0,2$$

R² = 0,999
n = 14

Bellage 3

Fig. 6 Aufsichtsdiagramm



MEASUREMENTS OF FORM

as follows:

WATER SUPPLY: $\frac{1}{2} \times 10^{-6}$
HARDNESS: $\frac{1}{2} \times 10^{-6}$

WATER SUPPLY: $\frac{1}{2} \times 10^{-6}$
HARDNESS: $\frac{1}{2} \times 10^{-6}$

WATER SUPPLY: $\frac{1}{2} \times 10^{-6}$
HARDNESS: $\frac{1}{2} \times 10^{-6}$

WATER SUPPLY: $\frac{1}{2} \times 10^{-6}$
HARDNESS: $\frac{1}{2} \times 10^{-6}$

WATER SUPPLY: $\frac{1}{2} \times 10^{-6}$
HARDNESS: $\frac{1}{2} \times 10^{-6}$

WATER SUPPLY: $\frac{1}{2} \times 10^{-6}$
HARDNESS: $\frac{1}{2} \times 10^{-6}$

WATER SUPPLY: $\frac{1}{2} \times 10^{-6}$
HARDNESS: $\frac{1}{2} \times 10^{-6}$

WATER SUPPLY: $\frac{1}{2} \times 10^{-6}$
HARDNESS: $\frac{1}{2} \times 10^{-6}$

WATER SUPPLY: $\frac{1}{2} \times 10^{-6}$
HARDNESS: $\frac{1}{2} \times 10^{-6}$

WATER SUPPLY: $\frac{1}{2} \times 10^{-6}$
HARDNESS: $\frac{1}{2} \times 10^{-6}$

WATER SUPPLY: $\frac{1}{2} \times 10^{-6}$
HARDNESS: $\frac{1}{2} \times 10^{-6}$

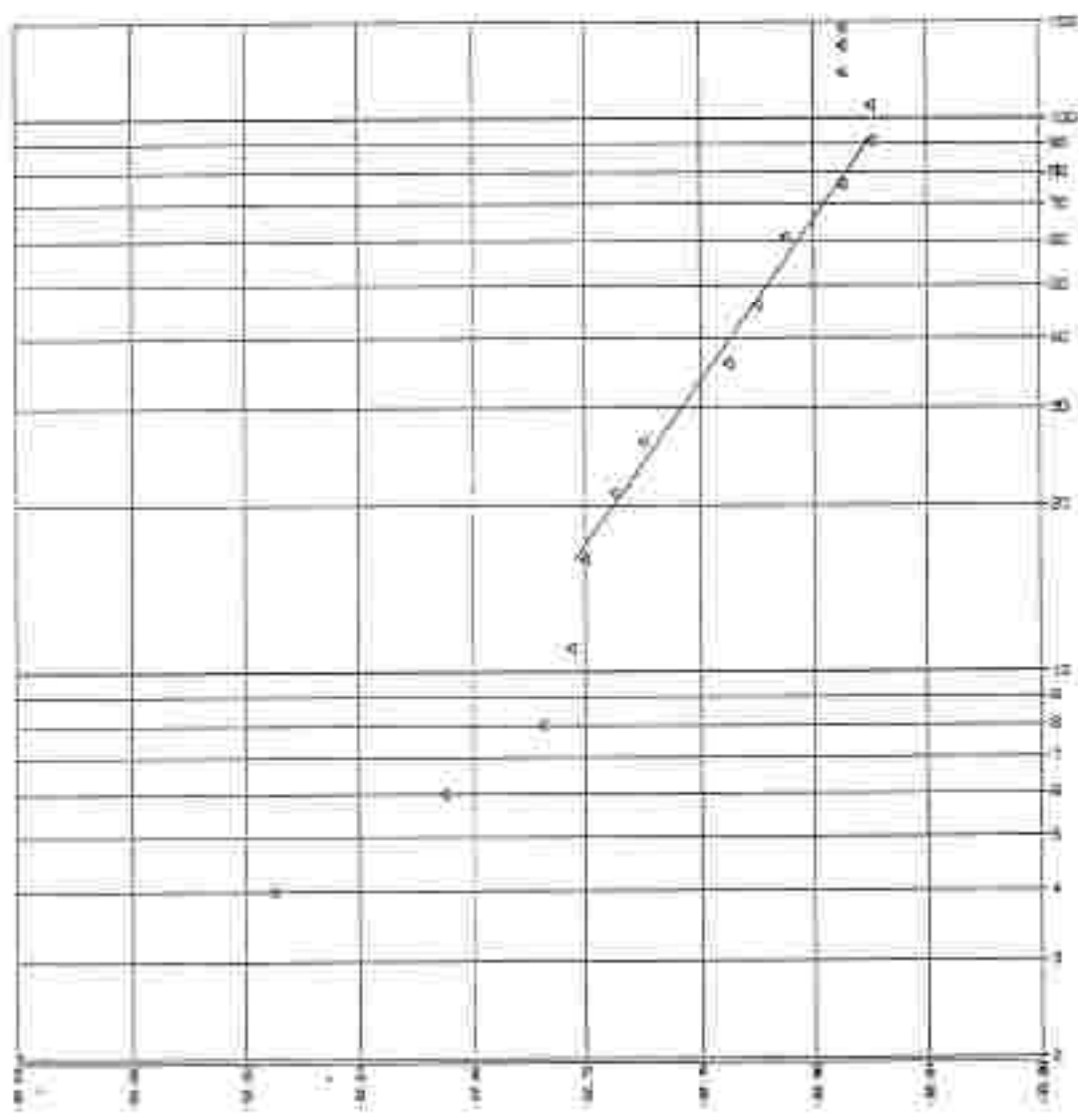
WATER SUPPLY: $\frac{1}{2} \times 10^{-6}$
HARDNESS: $\frac{1}{2} \times 10^{-6}$

WATER SUPPLY

Betilage 3

64

8.7 ABSEENKUNG



ABSEENKUNG O. FORM

4. 000 H = 100 %

WERTE AUSGEDECKTEN HÖHEN
D. GRUNDSTÜCKS
100% 100% 100%
100% 100% 100%

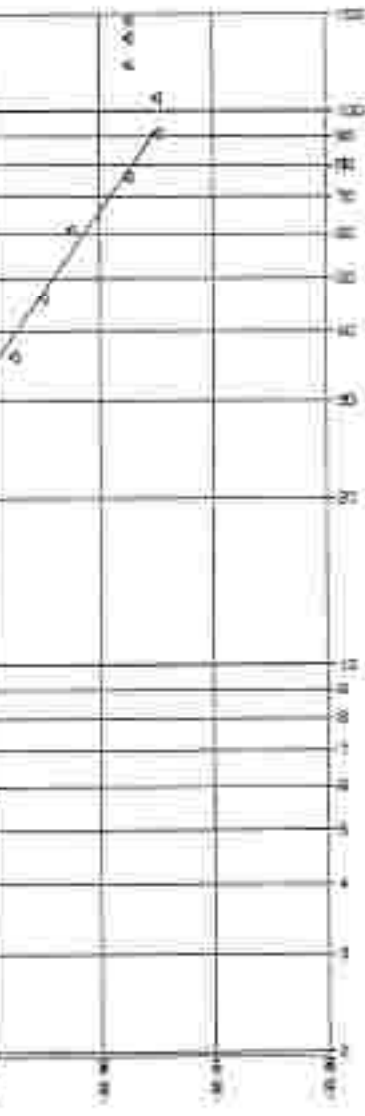
HÖHE H = 100 %

100% 100% 100%
100% 100% 100%
100% 100% 100%

100% 100% 100%
100% 100% 100%
100% 100% 100%

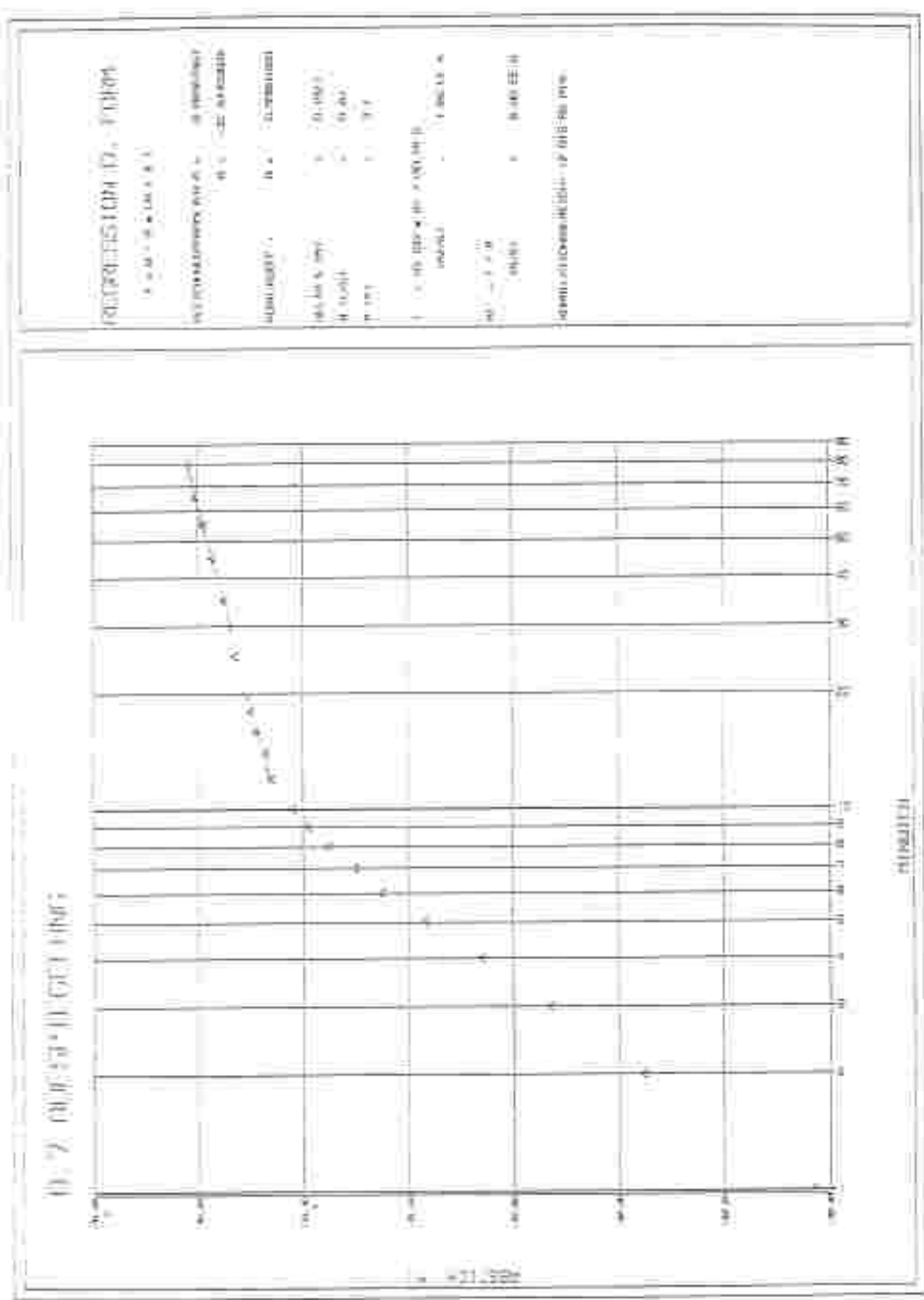
100% 100% 100%
100% 100% 100%
100% 100% 100%

WERTE AUSGEDECKTEN HÖHEN
D. GRUNDSTÜCKS
100% 100% 100%



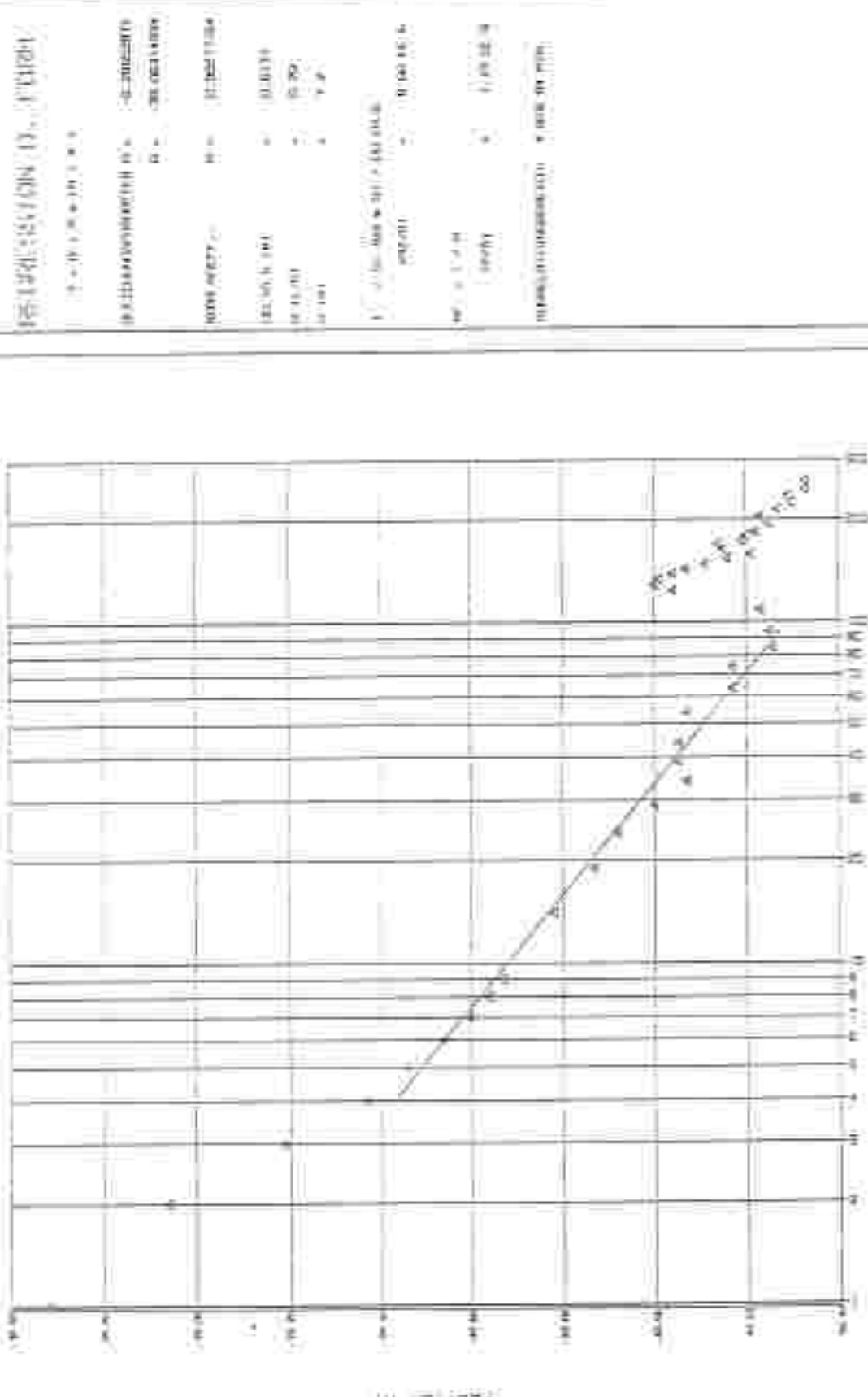
Bellage 3

6

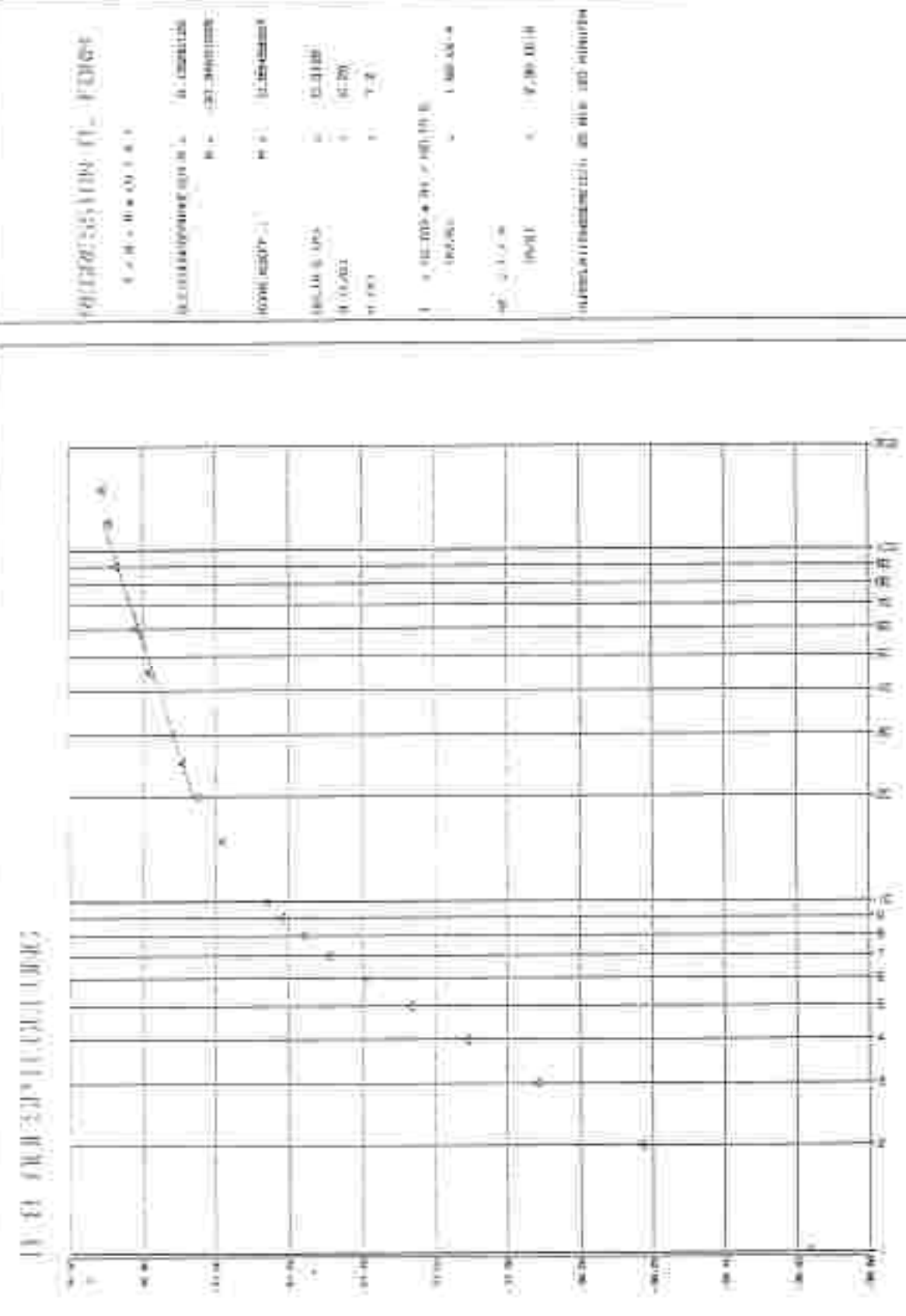


Beilage 3

7

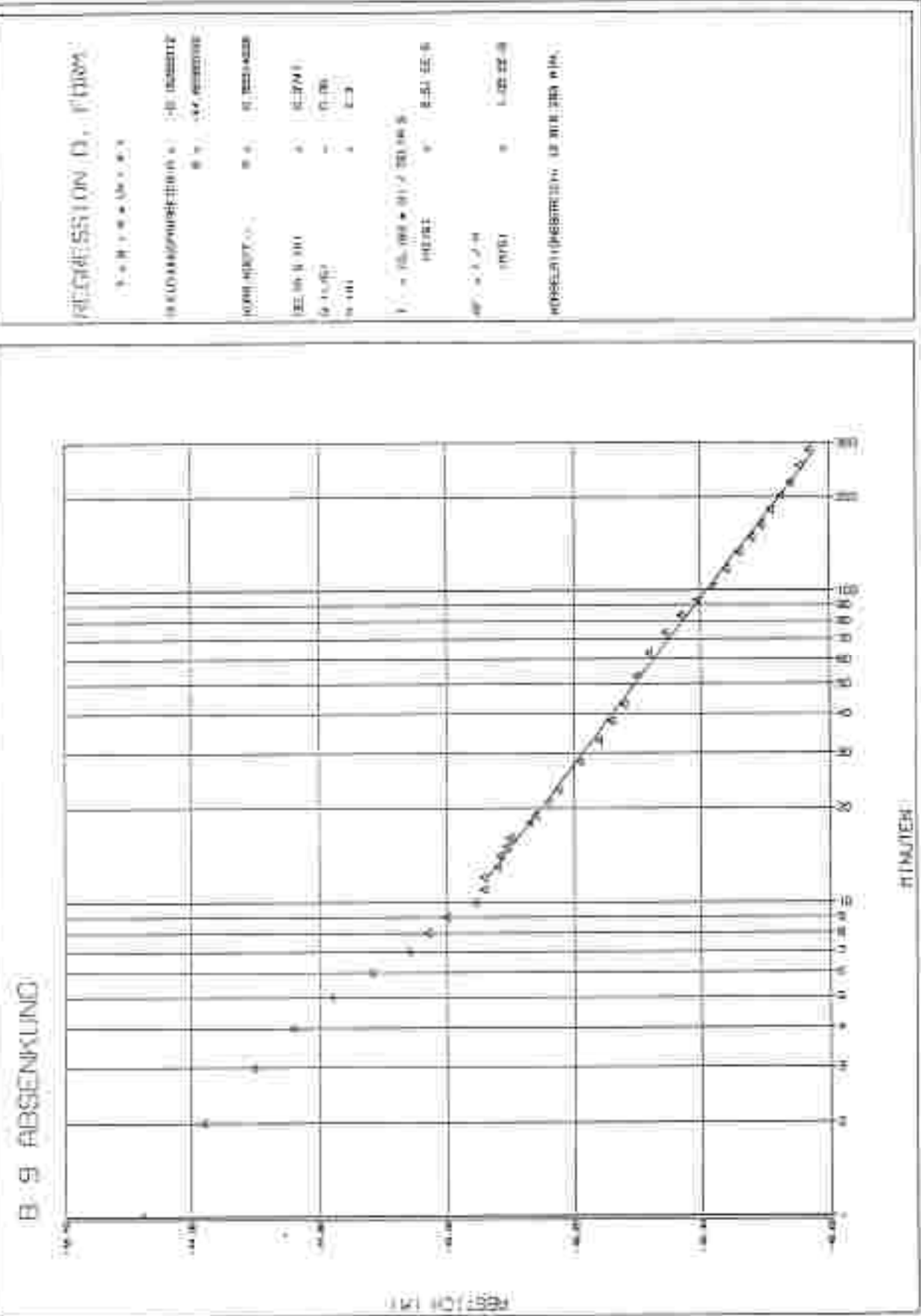


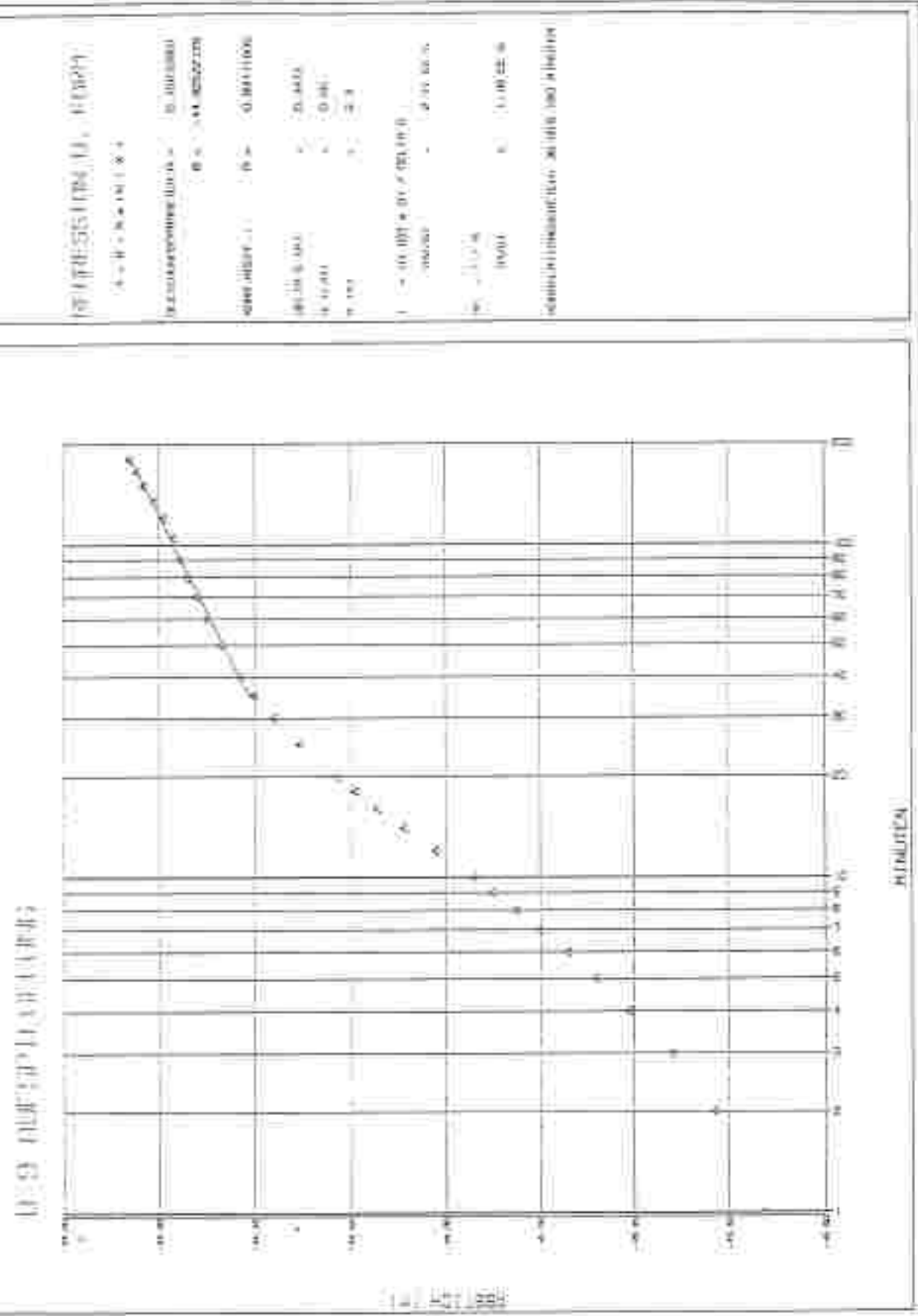
Beslag 3



Bildlage 3

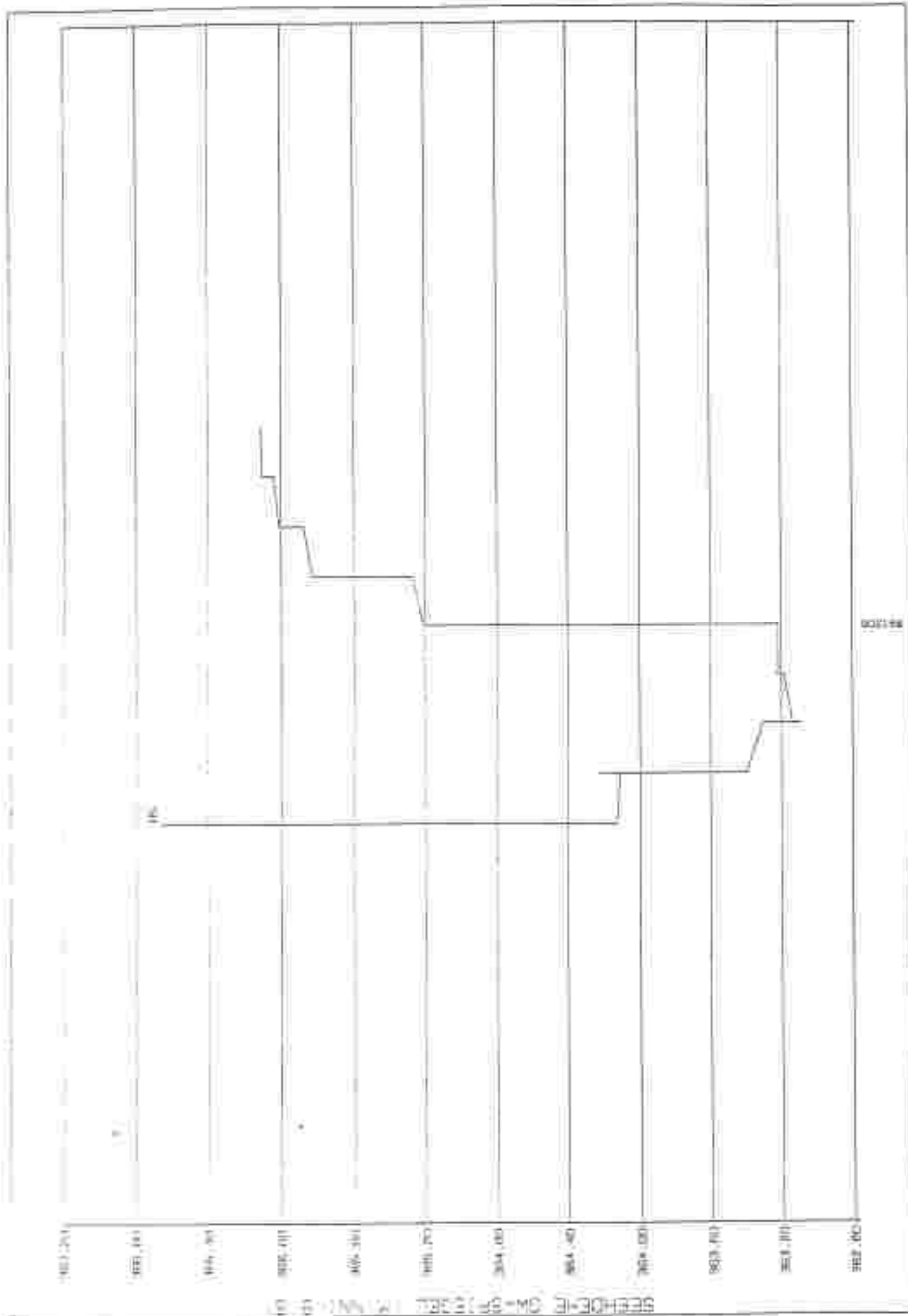
9





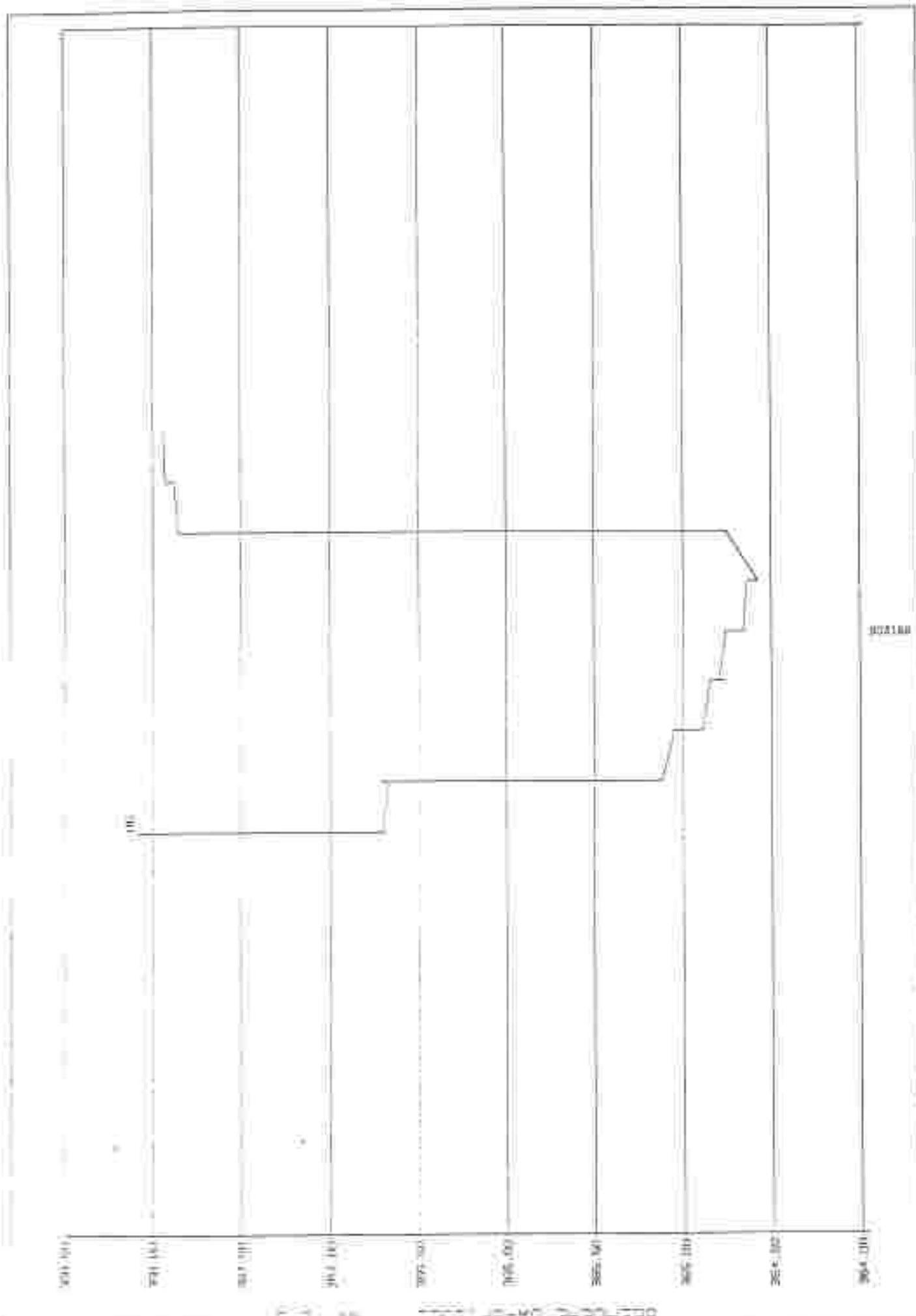
Bildlage 3:

22



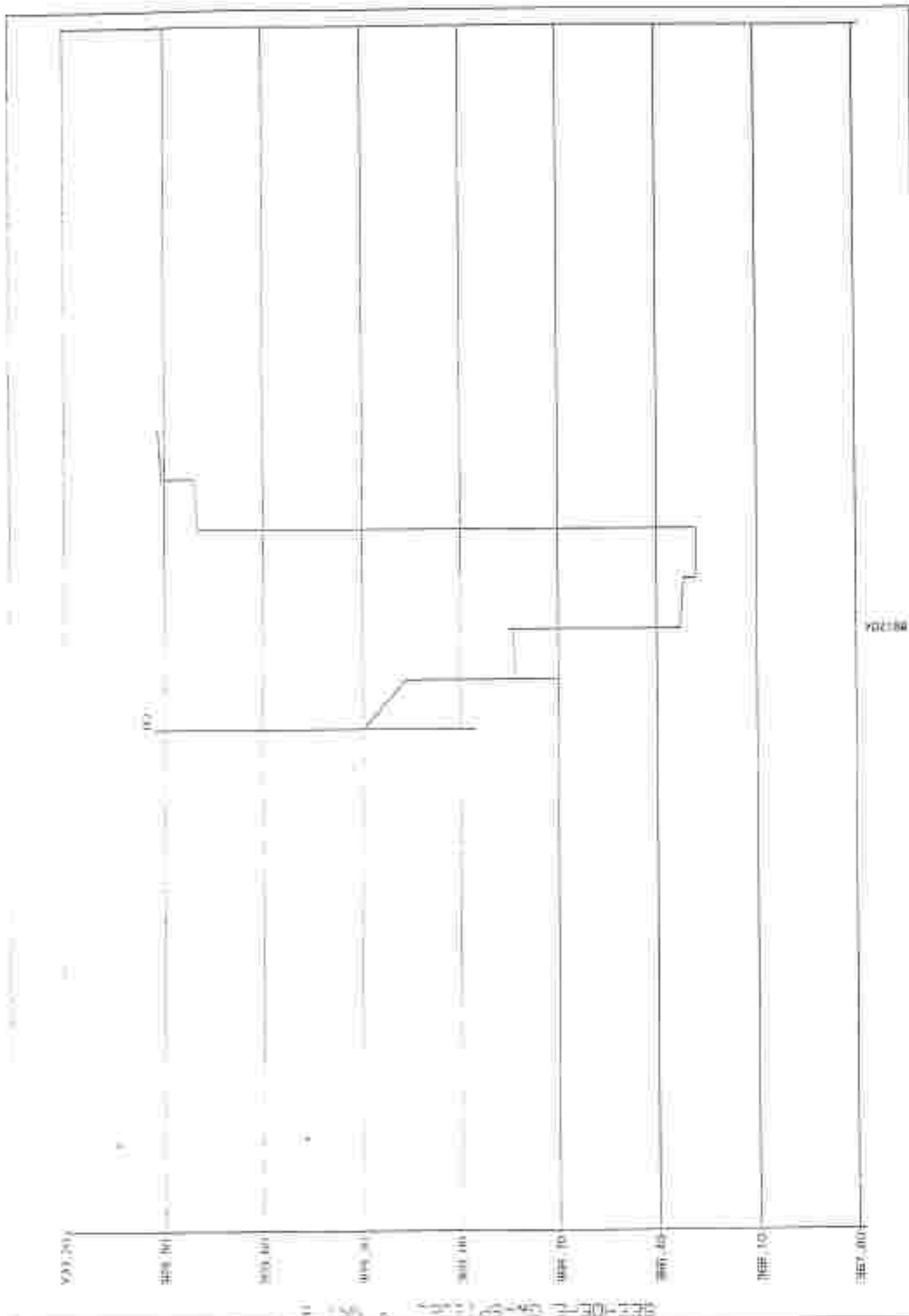
B e l l a g e 3

12



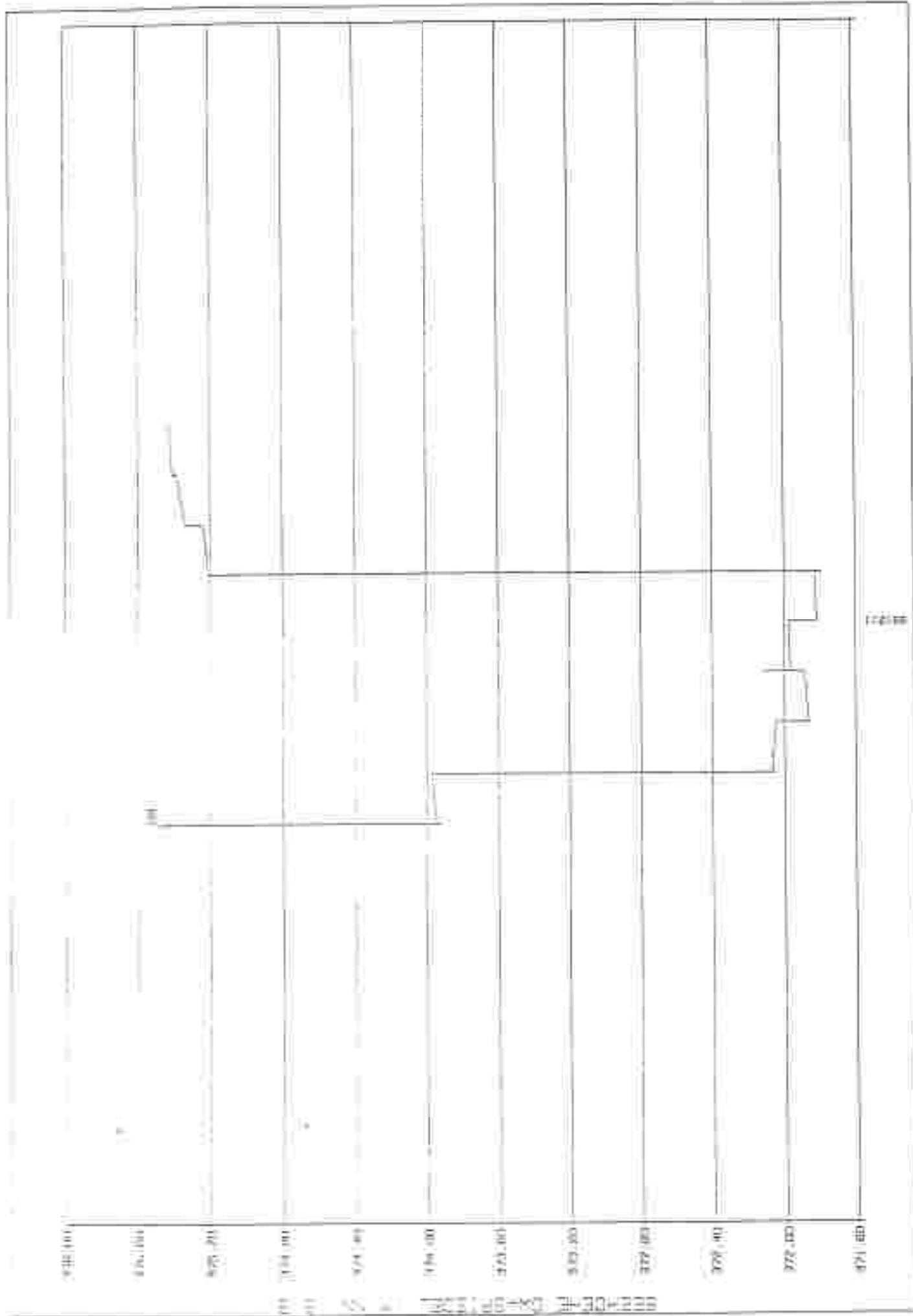
Beilage 3

13



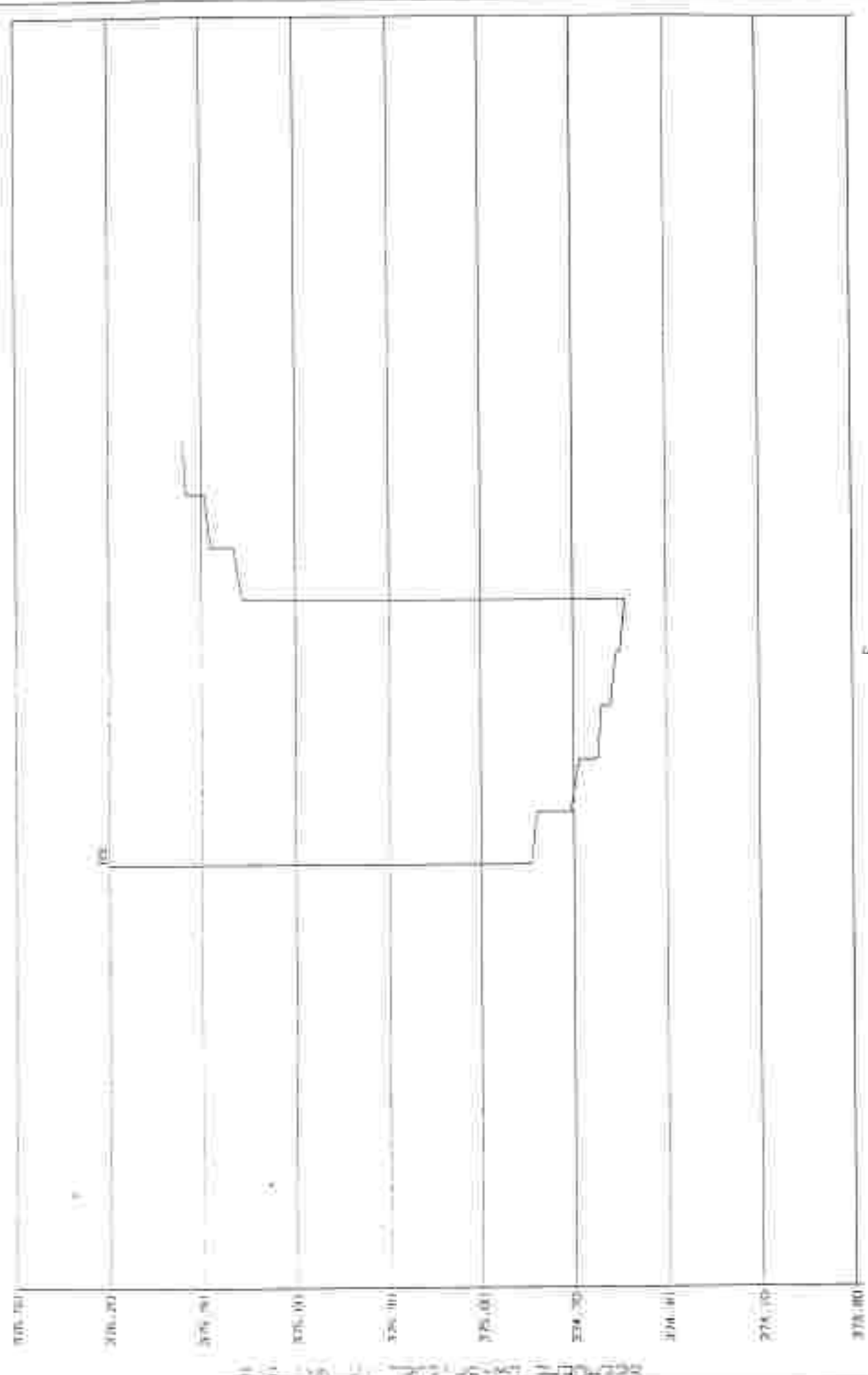
Anlage 3

14



Beilage 3

15





AMT DER
STEIERMÄRKISCHEN LANDESREGIERUNG

8010 Graz, Landesregierung - Fachabteilung II

Forschungsanstalt für
Wasserbau
Institut f. Umwelttechnologie
Dr. G. Höbel
Universitätsstraße 5
8010 Graz
GZ 100 810 50 3a 1/725-69

Geprüfungsergebnisse veranlagt für
Hildegarde Hartwals

PRÜFUNGSZEUGNIS

Fachabteilung II c - Statlich autorisierte
Boden- und Materialprüfstelle des Amtes
der Steiermärkischen Landesregierung

8042 Graz, Fuchsauwaldweg 77

DVR 0067122

Bearbeiter Weißer / Ho

Telefon (0316) 401501
Telex 03/1935 bopre

Telefax: 43-316-60 15 01
Graz am 22.12.1989

Nur gebührenfrei als Zeugnis
über vertragsgemäße Leistungen
an Gebäckörperschaffer gemäß
Geb. Gesetz 1957, § 14, TP 14,
lit. (2), Zif. 13.

1.0 Auftrag und Untersuchung

Am 1.12.1989 wurde der Antragsteller vom Bauunternehmen -
vertreter vertragl. der Ausfrau erteilt, an den Vier von Herrn
Dr. Höbel überbrachten ungestörten Bodenproben den Durch-
messermittelwert zu ermitteln.

Den Bodenproben wurden folgende Labor-Summen zugeschrieben:

Ref. Nr.	Bezeichnung der Probe	Masse
402/89	H 3	1,70 - 2,00
404/89	H 6	2,14 - 2,40
405/89	H 7	2,50 - 2,60
406/89	H 9	2,40 - 2,70

Die Untersuchungen wurden gem. den gültigen Überordn. bzw.
Vorschriften durchgeführt.

- 2 -

6.0 Untersuchungsergebnisse

Lfd. Nr.	η_d in t/m ³	w. in %	k in m/sec.
465/65	1,57	25,1	$1,1 \times 10^{-10}$
464/65	1,65	21,5	$1,3 \times 10^{-10}$
465/65	1,65	22,0	$2,0 \times 10^{-11}$
466/65	1,70	20,4	$5,4 \times 10^{-11}$

1.4.

Über Leiter

z.z.
Umweltzonaleverbund
Wagberg, 8255 St. Johann/Lisitz 100

B5

























B6

























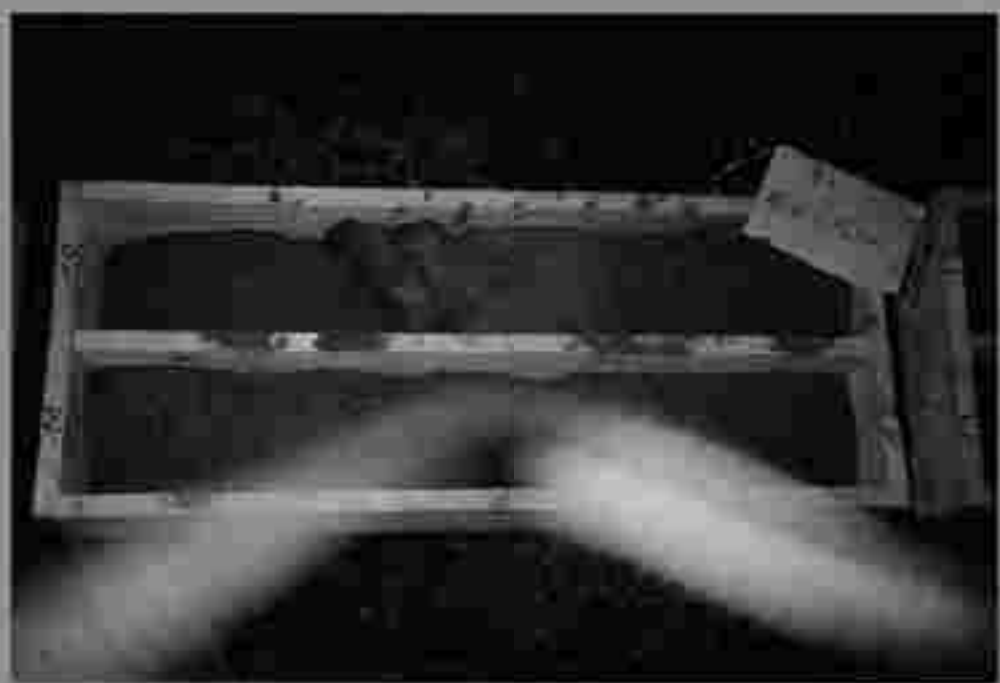


B7

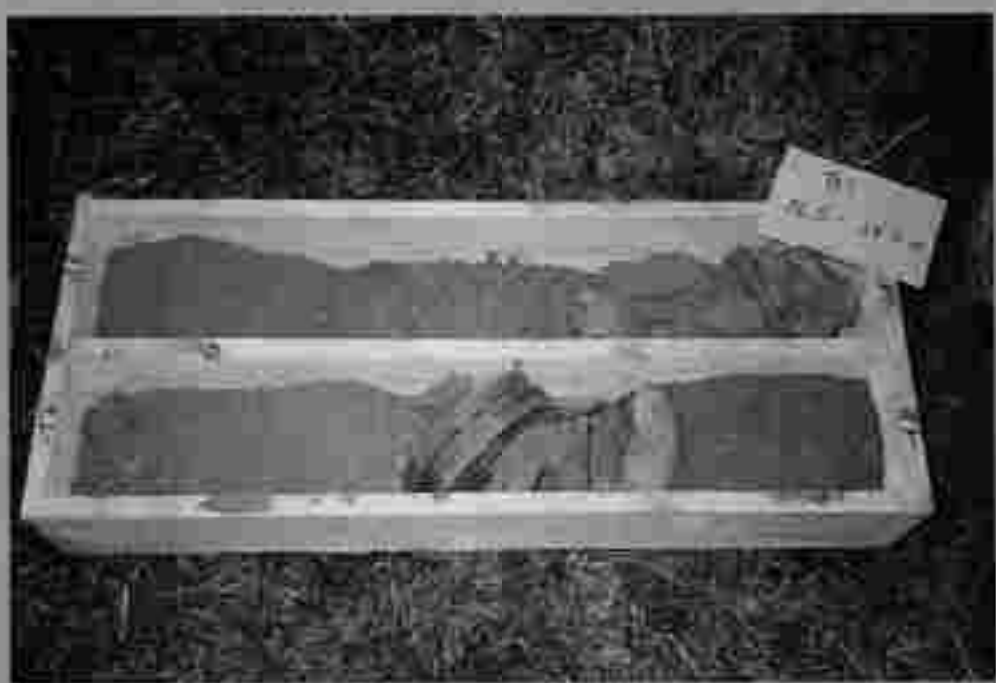




























B8





























B9



















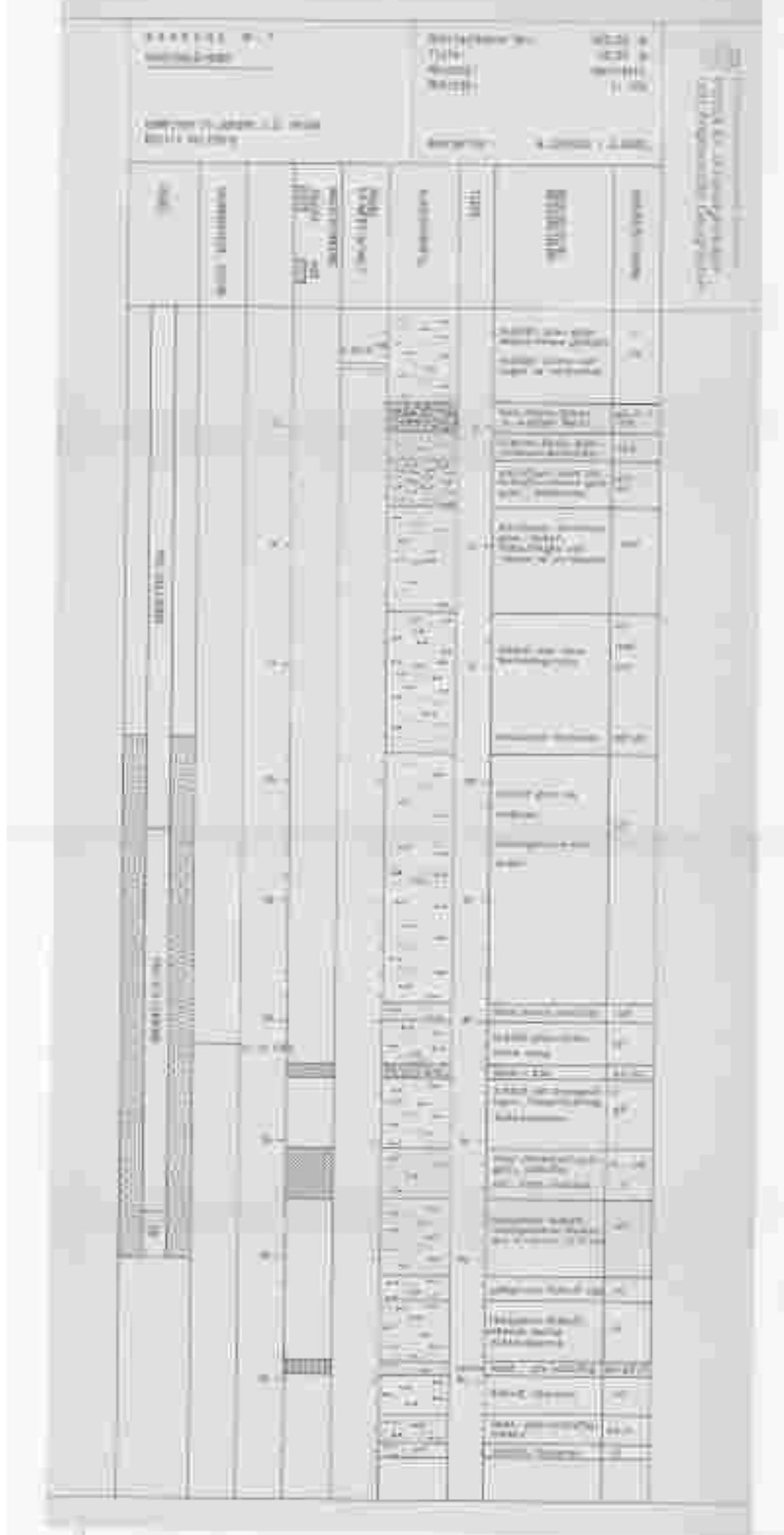


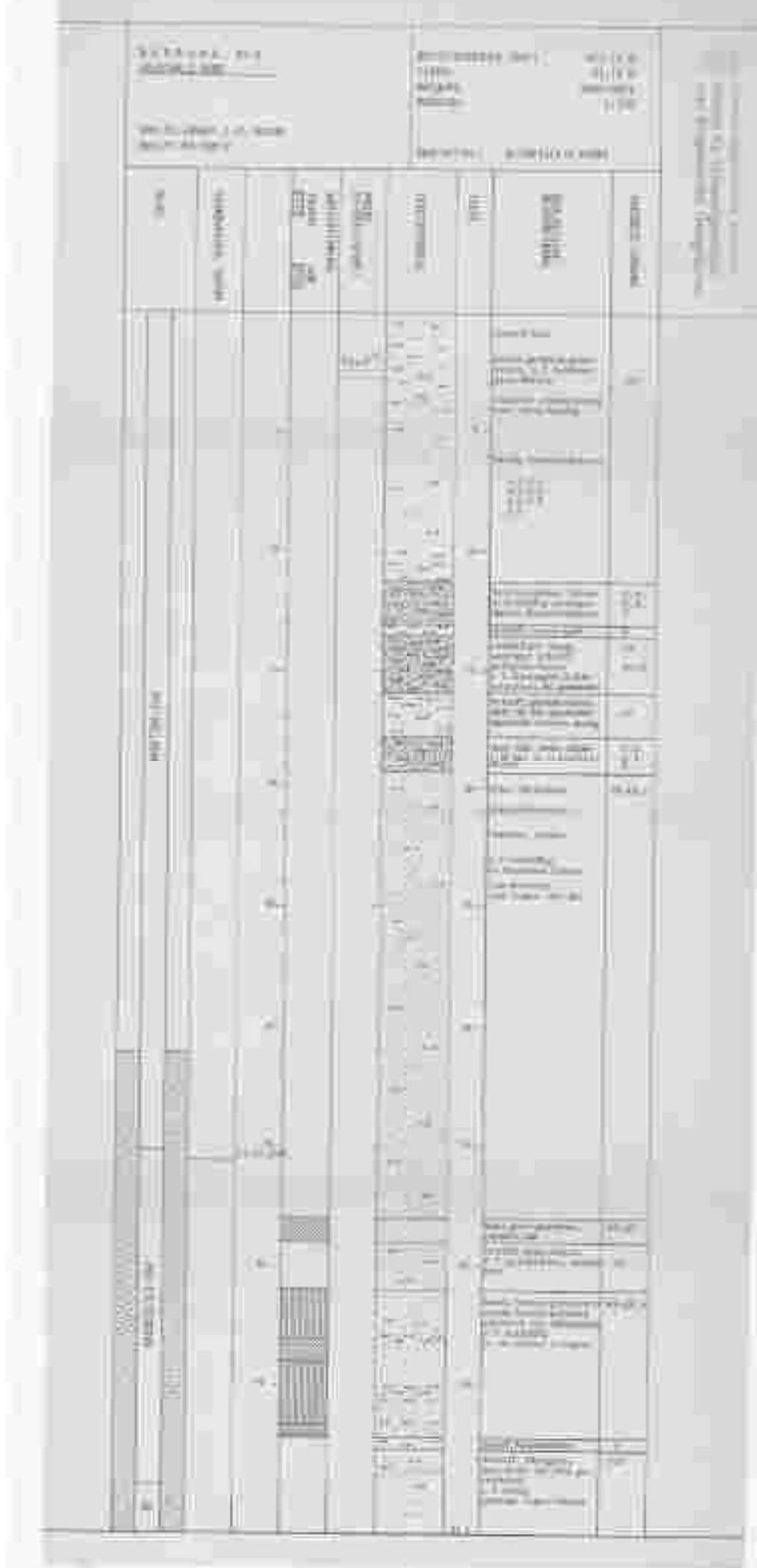












General Ledger		Bank Reconciliation		Bank Statement	
Date	Description	Date	Description	Date	Description
1/1/2023	Initial Deposit	1/1/2023	Initial Deposit	1/1/2023	Initial Deposit
1/10/2023	Bill Pay: Rent	1/10/2023	Bill Pay: Rent	1/10/2023	Bill Pay: Rent
1/15/2023	Bill Pay: Utilities	1/15/2023	Bill Pay: Utilities	1/15/2023	Bill Pay: Utilities
1/20/2023	Bill Pay: Groceries	1/20/2023	Bill Pay: Groceries	1/20/2023	Bill Pay: Groceries
1/25/2023	Bill Pay: Car Payment	1/25/2023	Bill Pay: Car Payment	1/25/2023	Bill Pay: Car Payment
1/30/2023	Bill Pay: Credit Card	1/30/2023	Bill Pay: Credit Card	1/30/2023	Bill Pay: Credit Card
1/31/2023	Credit Card Statement	1/31/2023	Credit Card Statement	1/31/2023	Credit Card Statement